# Statyuahr N3BECTИЯ

АКАДЕМИИ НАУК АРМЯНСКОЙ ССР

Sthubyuuuu арыльфальшьгр исгри СЕРИЯ ТЕХНИЧЕСКИХ НАУК

theyur

ÉPEBAH

#### ԽՄՔԱԳՐԱԿԱՆ ԿՈՐԵԳԻԱ

աստան Մ. Վ. (պատ թմբագրել), Այոնց Հ. Տ. (պատ կսմբագրի տեղակալ), Այհ սև և Վ. Վ., Անանյան Ա. Կ., Գուոյան Տ. Ա., Ջադոյան Մ. Ա., Նազաւով Ա. Գ., Տեւ-Ազաւն Ե. Ա., հետոյան Վ. Վ. (պատ. իսկ այր տեղակալ) Պատասիանատու բարտուղար Ստեփանյան Զ. Կ.

# РЕДАКЦИОННАЯ КОЛЛЕГИЯ

Касьян М. В. (ответ, редактор) Адонц Г. Т. (зам. ответ, редактора), Алексева ий В. В., Аншиян А. К., Гороян Т. А., Задоян М. А., Назаров А. Г. Пинабжян В. В. (зам. ответ, редактор), Тер-Азарьев Н. А.
Ответственный секретарь Степанян З. К.

вигридрия (пидей пришь 19, Вирейно перій фил. 244 Апрес редакции: Ерсиан 19, ул. Барекамутян, 24-г.



XXIX, № 3, 1976 Серия технических наук Shluthhuhut shunip, uhrhu

ЭНЕРГЕТИКА

# C. T. AZOHIL, P. M. FABPHESBUT

# АЛГОРИТМ ОПТИМАЛЬНОЙ ПЕРЕНУМЕРАЦИИ УЗЛОВ СХЕМЫ ПРИ ГЕ ЭКВИВАЛЕНТИРОВАННИ

В целом ряде задач, связанных с расчетами статической и инамической устойчивости, разбиением сложной схемы на подсхемы, оптимизацией режимов с учетом потеры в схеме и др., требуется предлярьтельно переобразовать открытую схему в эквивалентированный много полюсник. Особенно актуальной является задача экинвалентирования при расчете потерь мощности и энергии в электрических сетях, содержащих несколько сот узлов. Существующие адгоритмы эквивалентапования не удовлетворяют условиям оптимальности, а имению: решение задачи эквивалентирования с использованием минимальной оперативной памяти ЦВМ,

Машинные эксперименты, выполненные при замене схемы из 46 узлов эквивалентным многополюсником с 28 независамыми узлами, показали, что продолжительность расчета и число яческ оперативной памяти ЦВМ, занимаемых в процессе эквивалентирования, зависят от очередности выбора эквивалентируемых узлов. Так, например, при трех различных способах выбора очередности уалов потребовалось соответственно 128; 162; 264 яческ оперативной памяти, не считая яческ, занимае мых нараметрами полученного эквивалентного многополюсника. Указанные три способа отличались друг от аруга порядком иумерации открытой схемы. Таким образом, возникла задача отыскания такого способа перенумерации узлов, при котором обеспечивается минимальное число ячеек оперативной памяти ЦВМ для хранения промежуточной информации при эквивалентировании. Пеобходимость перенумерации уклон схемы ранее была указана в [1].

О значении перенумерации узлов указано также в [2] в слизи с задачей оптимального метода решения уравнений со слабозаполнен ными матрицами.

Постановка задачи. Принимается в качестве заданных:

- а) открытая схема n р узлов;
- б) параметры x = x и  $b_{m,k}$  ветвей схемы, где m, k—индексы узлов схе-

Требуется определить последовательность номеров узлов, согласно которой при эквивалентировании обеспечивается выделение мишниума ячеек оперативной памяти для хранения промежуточной информации

Сформулированную задачу целесообразно назвать оптимальной перенумерацией узлов, как связанную с эквиналентированием открытых схем электрических систем.

*Цель статьи*— разработка алгоритма и программы оптимальной перенумерации узлов схемы при ее эквивалентировании.

Алгоритя содержит следующие вроцедуры:

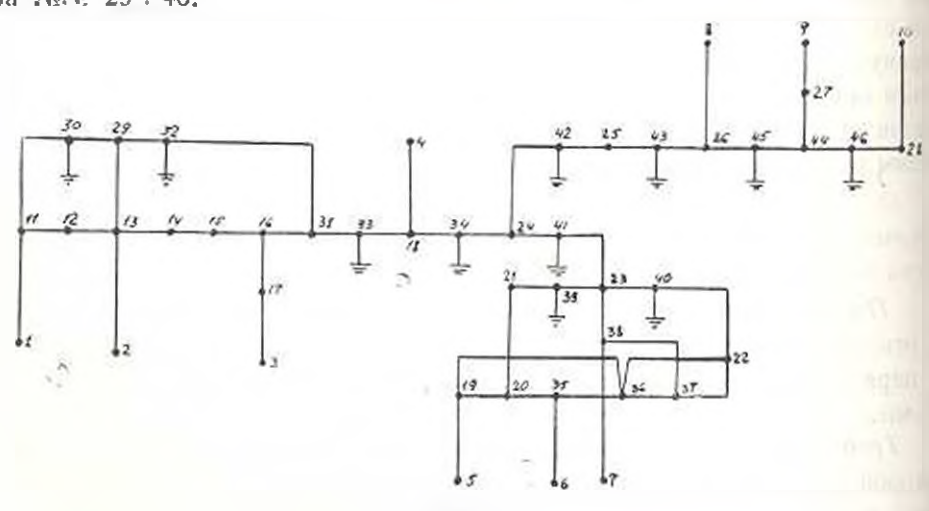
- а) нумерання узлов ехемы. Нумеруются сначала генерирующие и нагрузочные узлы с суммарным числом n, а затем сетевые (p) узлы, которые подлежат перенумерации;
- б) сетевые (р) узлы нумеруются по порядку возрастания числа связей (при равном числе связей нескольких узлов произвольно выбирается один из нях);
- в) вершины трехлучевых звезд с конечным числом t, представляющие иоперечную емкость относительно земли, в перепумерации не участвуют, принимая порядковые номера исходной схемы n+p, n+p-1, n+p-2,  $\dots$ , n+p-t.

Этим уменьшаются затраты машинного времени при перепумерации в целом;

- г) на каждом i-ом шагу эквивалентирования [3, 4] отбрасывается из схемы замещения тот узел, у которого есть наименьшие связи с остальными узлами, присванвая ему (n-p-i+1)-ый номер, с тем, чтобы число вновь образующихся ветвей на i-ом шаге получилось наименьшим;
- д) при равном числе связей нескольких узлов на 1-ом шаге произвольно выбирается один из них.

Схема приведена на рис. 1, где n=28, p=18. Узлы за NeNe 29 -46 занумерованы тремя способами: 1-случайная нумерация, 11- оптимальная перенумерация.

В тябл. 1 приведены варианты случайной, оптимальной и неолгимальной нумераций узлов схемы рис. 1, где перенумерованы узлы за №№ 29 ÷ 46.



Pric, 1

Тиблина 1

Варканты	Узлы
1—случайная нумерация	29 30 31 32 33 34 35 35 37 33 39 40 41 42 43 44 45 4
П—оптимальная нумерация	30 35 34 33 32 31 29 46 45 44 43 42 41 40 39 38 37 3
Ш—неоптимальная нумерация	46 4 38 36 42 43 45 30 31 32 29 33 34 41 40 35 37 3

Доказательство оптимальности перенумерации. Для доказательства того, что указанный алгоритм обеспечивает оптимальное решение поставленной задачи, были выполнены эквивалентирования по второму и третьему способам.

Примером оптимальной перснумерации является 11 вариант (табл. 1), при котором полученная промежуточная информация при эквивалентировации приведена в табл. 2.

Таблица 2

Узл	bi								В	e	T I	и									
m k	28 26 18 32 32 33	11 34	33	7 29	23 29	11	13	11	6 30	20	19	6 20	20	19	6 29	22 29	6	6 22	6 20	22 23	19

III вариант является неоптимальным (максимальная промежуточная информация). Данные этого варианта приведены в таблице 3.

Таблица 3

1 2  т 19 19 22 22 43 22 19 43 19 22 19 7 19 19 22 23 22 7 19 19 7 27 27 40 28 27 43 45 45 45 43 44 42 24 44 44 43 22 43 43 43 23 23 23 20 22 40 41 41 40 40 Продолжение  1 2	/злы					В	c 7	В	н							
Продолжение	1						2									
	n	19 19 2	22 43	22 19 43	1922	19 7 19	119 22	232	2 7	9 19	7 27	27 4	128/2	7 27	13 13	37
		43 45 4	3 45 45	43 43 4	22 44 4	14 43 22	43 43	43 2	3 23 2	23 20						
m 36 13 13 11 19 7 13 13 11 16 11 11 k 37 36 36 36 22 19 36 35 13 35 35 16		43 45 43	3 45 45	43 43 4-	122 44 4	14 43 22	2 43 43		3 23 2	23 20						

1 вариант представляет эквивалентирование при случанной нумераши узлов (промежуточная информация приведена в табл. 4).

Таблица 4

Узлы	В е т в п
m 28 26 22 7 7 23 23 7 7 7 22 k 44 44 23 23 37 37 36 22 23 36 23	22 22 7 7 7 7 19 19 19 22 22 23 19 18 29 16 18 11 36 23 19 22 23 35 22 23 35 23 25 20 31 31 29 29 29

Программа оптимальной перенумерации, составленная в соответствии [5] на языке «Фортран-4», приводится в приложении.

#### Выводы

- 1. Предлагаемый алгоритм перснумерации узлов открытой схемы для ее замены схемой эквивалентного многополюсника основан на принципе использования минимума ячеек оперативной памяти ЭВМ.
- 2. Для доказательства оптимальности перенумерации выполнены примеры расчета для одной и той же схемы при оптимальной, неоптимальной и случайной нумерации узлов.

#### **ВИНЗЖОГИЧИ**

Подпрограмма NODE

Назначение, Перенумерация сетепых узлов электрической системы, обеспечинакопыя оптимальную промежуточную информацию при эквивалентировании.

Обрашение

CALL NODE (IT, NB, NYC, NMN, I, L), L, LR, L4, LT, LJ)

Описание параметров

В массивах М, К и М1, К1 хранятся помера узлов попарно образующихся нетвей схемы.

В массиве M2 производится выбор вновь образующихся истией на каждон шагу экнивалентирования,

JТ-длина массивов М, К, М1, К1, М2;

NB- число влементов в массивах М, К

NYC число узлон исходиом схемы;

NMN число пар полюсов экциваленты со многоволянскика,

L. I.L. LK- переменные, пачальные значения которых ранны нулю;

1.4-положительное большое число:

I.T=19 (для задачи рис. 1):

LJ 18 (для задачи рис. 1).

SUBROUTINE NODE (IT NB, NYC, NMN, J. LL, L, LK, L4, LT, L3) DIMENSION M(JT), K(JT), M(JT), K(JT), M(JT)

```
2 FORMAT (215)
           1
Ċ
     DO 191-1, NB
  19 READ 2, MI(I), KI(I)
    DO 221-1, NB
     4F(M4(1)-NMN)20, 20, 21
  20 H (KI(I) NMN) 22 22, 21
  21 L L-1
     M(L) = M1(1)
     K(1) = K(1)
  22 CONTINUE
     NB1 L
 123 LL LL--1
     1.2 NYC-1
     L=NB1
     1F(I.I.-LT) 23, 52, 52
  23 \cdot 1.1 = 0
     1.2-1.2-1
```

IF(L2-NMN) 24, 30, 24

24 DO 281 1, L 1F(M(1)-L2) 26, 25, 26 25 L1 L1-1-1 GO TO 28 26 1F(K(1)-L2) 28, 27, 28 27 [.1 :- [.]-[-] 28 CONTINUE [F(L1) 23, 23, 723 723 IF(L1-L4) 29, 29, 23 29 1.4-1.1 1.3 1.2 GO TO 23 30 J J-1-1 11 NYC-J-1 IF(1 - EQ - 11)E3 30 WRITE 2, J1, L3 4 L1 1.4-[-1 12 - 0DO 341 1, NB1

1F(K(1)-L3) 32, 31, 32  $NC = ((1-NC) \cdot NC) 2$ 31 J2- J2-1 1K=0 M2(J2) = M(I)GO TO 34 NTI = 032 IF(M(1)-L3) 34, 33, 34 35 1K 1K--1 33 12 12-1 11=1K-i-1 DO 37JK II. 12 M2(12) = K(1)IF(NTT - EQ - NC)GO TO 123 34 CONTINUE NTT NTT+1 DO 411T=1, L NBI = NBI + 138 IF(M(IT)) 39, 42, 39 M(NB1) = M2(IK)39 IF (M(IT)-1.3) 41, 40, 41 K(NB1) = M2(JK)40 M(IT) = M(NBI)K(IT) K(NB1) DO 342 H 1, L IF(M(II) - M(NBI)) 342, 340, 342 M(NB1) = 0 NBI = NBI-1 340 1F (K(11) -- K(NB1)) 342, 341, 342 341 NB1=NB1-1 GO TO 38 41 CONTINUE GO TO 37 42 L NB1 342 CONTINUE DO 2411T=1, 1, DO 442 II -1, L 238 IF(M(IT)) 239, 242, 239 IF(K(II) M(NBI)) 442, 440, 442 440 IF(M(II) -K(NB1)) 442, 441, 442 239 IP(K(IT) L3) 241 240, 241 240 M(IT) M(NB1) 441 NB1=NB1-1 GO TO 37 K(IT)= K(NBI) 442 CONTINUE M(NB1) 0 37 CONTINUE NBI NBI - I GO TO 238 GO TO 35 241 CONTINUE 52 RETURN NC=J2-1 END L=NB1

Требусиме функции и подпрограммы

Подпрограммы не требуется

Meto T.

Перенумерация узлов производится невиденсно.

Перевод комментарнов в тексте

- 1. Ввод данных.
- 2. Выбор эдементов на массивов M1, K1, участвующих в эквивалентировании и их запись в массинал. M2, K2.
- Расчет и печать помера эквивалентируемого узла (J1) и номера, которым он должен стать (L3), чтобы обеспечить минимум информации на I-ом шагу эквиналентировании.
  - 4. Организация экиниалентирования.
  - 5. NC-число вновы образующихся ветвей на каждом шагу эквивалентирования.

АрмНИНЭ

Поступнае 31.1 1976.

#### 2. S. HANDS, D. U. ALAPHULARU

# ՍԽՆՄԱՅԻ ՀԱՄԱՐԺԵՔԱՎՈՐՄԱՆ ԺԱՄԱՆԱԿ ՆՐԱ ՀԱՆԳՈՒՅՑՆԵՐԻ ՕՊՏԻՄԱԼ ՎԵՐԱՀԱՄԱՐԱԿԱԼՄԱՆ ԱԼԳՈՐԵԹՄ

IL of den den ent

<mark>Շարադրված է բաց սխնման Համարժեր բազմարևնոի սխնմայով փոխարիննլու նպատակով բաց սխնմայի Հանդույցների վերաՀամարակալման</mark> ալդորիին, որը հիմնված է իվային հաշվիլ մերենայի օպերատիվ հիշողուիյան բջիջների մինիմալ օգտագործման վրա։ Վերահամարակալման օպտիմալուրկյունն ապացուցելու նպատակով միևնույն սխեմայի համար կատարված են հայվարկներ հանդույցների օպտիմալ, ոչ օպտիմալ և պատահական համարակալումների ժամանակ։

#### ЛИТЕРАТУРА

- Гамм 3. О тумеряции узлов при расчетах установишнахся режимов электрических систем методом Пьюговия-Рафеона. Электричестцо», № 2, 1970.
- Макиров В. М. Эффективность применения точных методов линейной элгебры в расчетах потокораспределения многомерных электрических сетей. Со. Тезисы докладов «Исследование решения на ЦВМ уравнений установившегося режима электрических систем». 1976.
- 3 Г. Т., Юзбания А. М., Гандания 1. С. К исследованию трех способов обращения матрицы комплексной проводимости электрических схем. Отвестия АП АрмССР (серия техн паук)», т. XXVI, № 6, 1973.
- Коробаук К. В., Коваль Л. Ю. Расчет установивилися электрических режимов пун апализе статической устоичности слажной энем кистемы. Сб. Проблемы техинческой электродинамики», № 30, 1971.
- Сторин к изучных программ на Форгранс. Вып. 1 (перепод с англ.). Изд. «Статт стика», 1974.

Shiething ahmais, ubrha

XXIX. No. 3 1976 Cedus Texhaneckux have

ЭНЕРГЕТИКА

#### A. A. APYTIOHISH

# ОПРЕДЕЛЕНИЕ СТРУКТУРЫ ЭКВИВАЛЕНТНОГО МНОГОПОЛЮСИНКА И ПЕРЕСЧЕТ МАТРИНЫ УЗЛОВЫХ ПРОВОДИМСТЕЙ ПРИ ИЗМЕНЕНИЯ В ИСХОЛНОЙ СХЕМЕ

В расчетах режимов электроэнергетических систем получает все большее распространение представление схем эквивалентными многополюсниками [1]. Преимущества метода многополюсника заключается в том, что взамен итерационного расчета режимов открытых схем с N узлами в итерацию вовлекаются только MI уравнений эквивалентного многополюсинка, режим оставшихся C = N - NI узлов определяются без итерации по данным расчетов режимов VI узлов многополюсника, Исследования, проведенные в АрмИИИО, показали дучшую сходимость расчетов режимов электрических систем, схемы которых были представлены экинвалентными многоволюсниками.

В [1 : 7] и в ряде других работ уснешно применяется метод эквивалентирования исходной схемы ичтем последовательного исключения узлов по формуле

$$Y_{mk} = \frac{Y_{mi}Y_{ki}}{Y_{cc}}. (1)$$

где с — номер исключаемого узла;  $V_{mk}$  — проводимость ветвей  $m,\,k_1$ Y<sub>0</sub> = собственная проводимость исключаемого узла.

При реализации данной методики на ЦВМ для расчетов установившихся режимов больших электрических систем, учитывая, что напряжение Ü сетевых (исключенных) узлов определяются по следам эквивалентирования, имея при этом режим эквивалентиой схемы, возникают следующие трудности:

- 1. Онтимальное распределение намяти ЦВМ:
- 2. Повторное эквивалентирование при изменений в ехеме, т. е. из-за подключения или отключения отдельных элементов сети.

В данной статье предложены методы преодоления этих грудностей.

1. Определение структуры эквивалентного многополюсника для оптимального распределения памяти ЦВМ при расчетах установившихся режимов электрических систем

Нумерация узлов исходной схемы производится в следующем порядке:

1 -Г - генераторные узлы;

 $\Gamma + 1 : N1$  — нагрузочные узлы;

N1+1+N- сетевые (исключаемые) узлы.

Постановка задачи. Дяно: N—число узлов исходной схемы; MK—число ветвей исходной схемы, N1—число узлов эквивалентной схемы; m-k—связи исходной схемы.

Требуется определить: МКЭ—количество ветвей эквивалентной схемы (число ненулевых элементов эквивалентной матрицы): m-k- связи эквивалентной схемы: МКС — количество связей следов эквивалентирования: mc-kc — связи следов эквивалентирования.

Следы эквивалентирования—это связи в каждом этапе эквивалентирования с псключаемым узлом.

Для определения вновь образующихся вствей вначале выбираются уалы, связанные с исключенным уалом C, затем производится персупорядочение узлов в порядке возрастания с целью сохранения условия m < k, характерного для треугольной матрицы. После этого образуются новые ветви, число которых овределяется сочетанием  $C_n$ , гле n—число узлов, связанных с исключаемым узлом. Эта процедура исключения повторяется до тех пор, пока будет соблюдаться условие C = N I. Блок-схема программы, реализующей данныя алгоритм и составленион на языке "Фортран— 4", приведена на рис. I.

Число элементов эквивалентной схемы МКЭ и следов эквивалентирования МКС используется в качестве размерности для массивов соответствующих индексов и проводимостей.

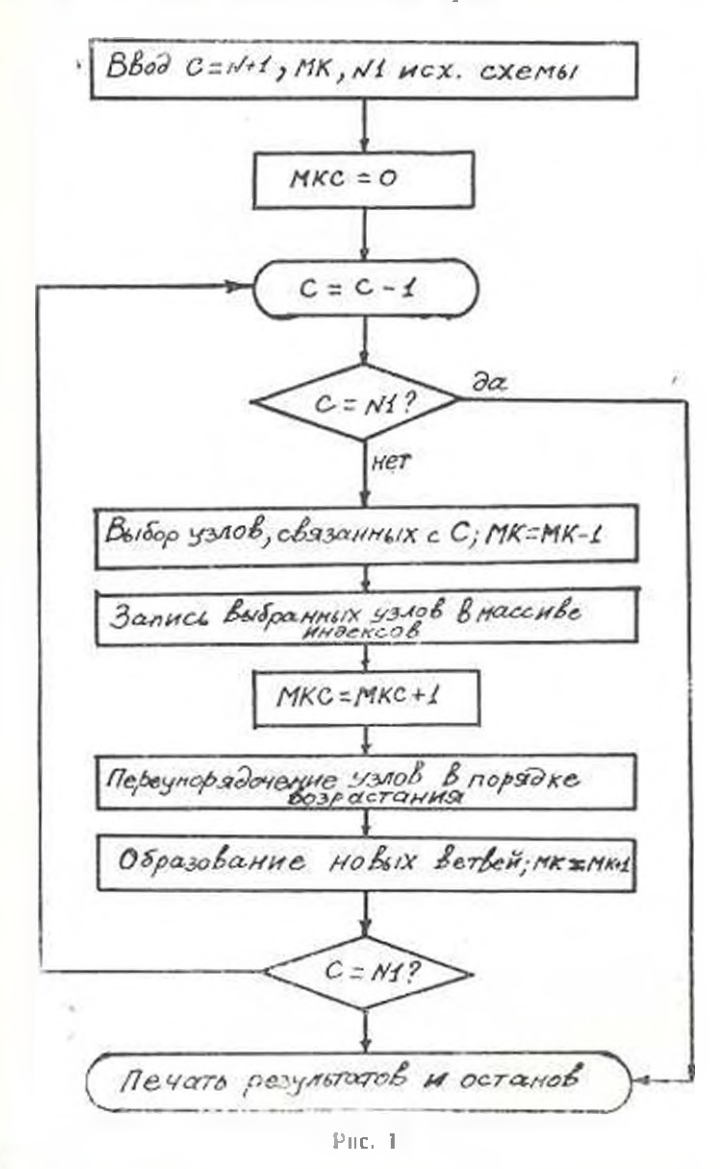
# 2. Пересчет матрицы узловых проводимостей эквивалентного многополюсника при изменений в исходной схеме

При расчетах установившихся режимов с предварительным эквивалентированием исходной схемы часто одна и та же схема несколько раз эквивалентируется из-за изменений и исходной схеме. На это тратится значительное машинное время, поэтому целесообразно производить пересчет только измененных элементов матрицы. Предлагаемый алгоритм дает возможность выполнить пересчет эквивалентной матрицы по той же программе эквивалентирования, реализующей формулу (1) с незначительными изменениями, не влияющими на основную программу.

Постановка задичи. Даны: ветви со связями m-k и сопротивлениями  $Z_{mk} = r_{mk}$  участка схемы, где произведено изменение; исходная эквивалентная матрида (ИЭМ), которая из внешней памяти вызвана на оперативную память ЦВМ.

Требуется пересчитать ИЭМ, учитывая вносимые изменения в исходной схеме. Для этого выбирается участок на той части схемы, где внесено изменение, имея в виду подключение или отключение отдельных элементов сети (рис. 2,а). При этом граничные узлы участка долж-

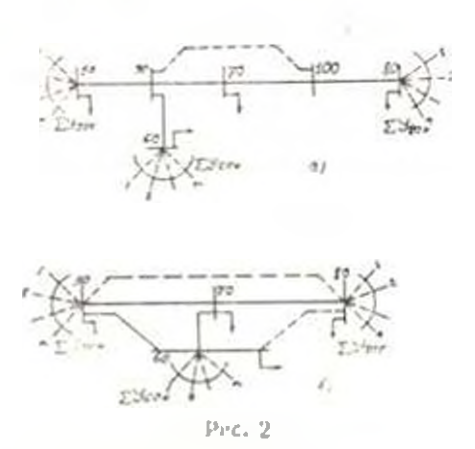
ны принадлежать к множеству узлов, которые остаются после эквивалентирования, и охватить ветвы со всех сторон.

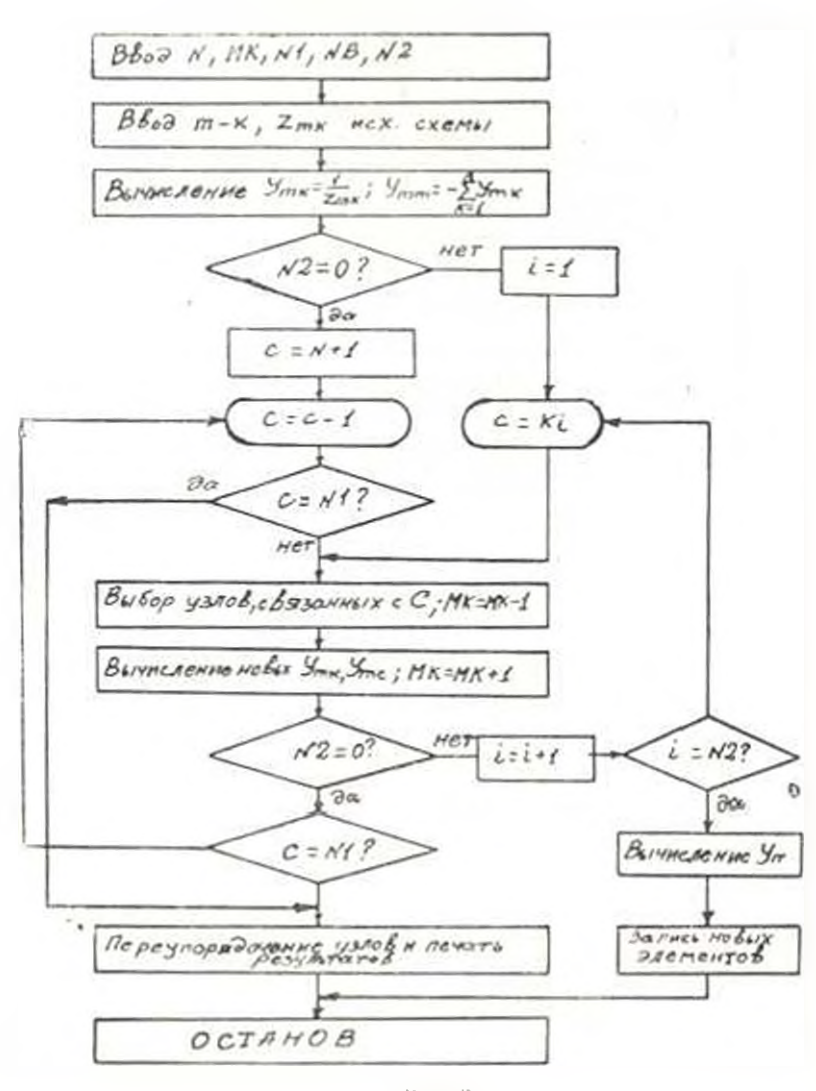


Узлы, представляющие подключаемую или отключаемую ветвы  $l\!-\!j$ , могут принять значения:

- a) I∈M: j∈M:
- 6)  $I \in M$ ;  $j \in M$ ;
- a)  $I \in M$ ;  $I \in M$ ;

где М-множество узлов, которые остаются после эквивалентирования.





Pirc. 3

Более общим является случай в), что и рассмотрено в блоксхеме программы, реализующей формулу (1) и предлагаемый алгоритм пересчета ИЭМ при изменений в исходиой схеме (рис. 3), где NB число ветвей участка; N2 число исключаемых узлов, которые записаны в массиве  $K_L$ .

При N2=0 действует только программа эквивалентирования. Остальные обозначения на блок-схеме имеют значения, принятые выше.

Исключение узлов производится в том порядке, в каком их номера записаны в массиве  $K_L$ . После завершения процедуры исключения узлов новые значения элементов записываются на соответствующих местах в ИЭМ. В случае подключения новых линий могут образоваться такие связи, которых нет в ИЭМ, тогда эти новые элементы записываются в конце соответствующих массивов-связей и проводимостей. При отключения линий происходит обратное, ряд связей могут не образоваться, тогда эти элементы стираются в ИЭМ.

Пересчет значений собственных проводимостей (днагональных элементов ИЭМ) граничных узлов (50; 60; 80 па рис. 2,a) производится по следующей формуле:

$$Y_{rr} = Y_{rr} + \sum_{k=1}^{r} - Y_{rk},$$
 (2)

где У -собственная проводимость граничного узла участка;

 $Y_{\rm ch}$ —взаимная проводимость между граничным узлом и узлами, не входящими в участок.

Формулу (2) можно не включить в программу, если в участок включены также связи r = k,

Предложенные алгоризмы были применены в расчетах установившихся режимов с целью определения структуры потерь энергии в электрических сетях Армянской энергосистемы. Расчеты показали эффективность оптимального распределения оперативной памяти ЦВМ и пересчета ИЭМ при изменений в исходной схеме.

### Выводы

В расчетах установившихся режимов больших электрических систем, сети которых представлены эквивалентной матрицей узловых проводимостей, целесообразно:

- а) определить структуру экнивалентного многополюсника для оптимального распределения оперативной памяти ЦВМ;
- б) пересчитать ИЭМ при ряде изменений в исходной схеме взамен повторного эквивалентирования.

#### U. U. 2UPDEMBODSHIN

ՀԱՄԱՐԺԵՔ ԲԱԶՄԱԲԵԼԵՌԻ ԿԱՌՈՒՑՎԱԾՔԻ ՈՐՈՇՈՒՄԸ ԵՎ ՀԱՆԳՈՒՑԱՑԻՆ ՀԱՂՈՐԴԱԿԱՆՈՒԹՑՈՒՆԵՐԻ ՄԱՏՐԻՑԱՅԻ ՎԵՐԱՀԱՇՎԱՐԿԸ ՆԱԽՆԱԿԱՆ ՍԵԵՄԱՅԻ ՓՈՓՈԽՄԱՆ ԳԵՊՔՈՒՄ

# Ամփոփում

Հոգվածում առաջադրված է համարժեր բաղմարհեռի կառուցվածքը որոշելու մեքիող, որը կիրառելի է 500—1000 հանդույց պարունակող էլնկարական համակարդի փոխարինման սխեմաների վերակառուցման դեպքում։ Շարադրըված ժեքեռի հիման վրա «ՖՈՐՏՐԱՆ—4» ալդորիքմական լեզվով կազմված է ծրագիր, որն ապահովում է իվային հաշվիչ ժերենայի հիշողության շահավետ օգտադործման խնդրի լուծումը։

Շարագրված է նաև համարժեր բազմաբնեռի հանգուցային հաղորդ<mark>ակա</mark>նությունների մտարիցայի վերահաշվարկման ալգորիին՝ հաշվի առնելով նախնական սխեմայում տեղի ունեցած փոփոխությունները առանց վերջինիս կրկնակի համարժերավորման։

#### ЛИТЕРАТУРА

- 1. Adomy F. T. MROTOHOZIGGIBE, Haz. AH ApmCCP, 1975.
- 2. Максимович Н. Г. Линейные электрические цени и их преобразования, ГЭП, 1971.
- 3 Гамя А. З. О нумерация узлов при расчетах установившихся режимов электрических систем методом Пьютоив-Рафсова. «Электричество», 1970. № 2
- Короочик К. В., Коваль 1. Ю. Расчет установившимся электрических режимов при анализе статической устойчивости сложной энергосистемы. В ки. «Проблемы технической электродинамики», № 30, 1971
- 5 Гороховир Ф. И. Журавлев В. Г. Применение метода презбразовани целей дли расчета пормального режима электрических систем. «Электричестви», 1969, № 5.
- Качанова И. А. Цикерник Л. В. Вопросы методики и солдания просовым расчета установившихся электрических режимов больших эпергосистем с числом узлов ворядка 2000. В ки. «Проблемы технической электродинамики», № 30, 1971.
- 7. Вител В. С. и ор. Расчет установнишнихся электрических режимов сложных энерголистем при эквивалентировании исходной схемы до наданного объема. В ки. Проблема технической электродинамики∗. № 42, 1973.

Տեխնիկական գիտութ, սեշիա

XXIX. № 3. 1976 Серия технических наук

машиностроение

A. B. XEHVMIII

# ВИБРАПИОПНЫЛЕ КОНТРОЛЬ шпиндельного узла станка

Шпиндель металлорежущего станка является наиболее ответственным узлом, определяющим точностные характеристики, надежность их сохранения, результаты обработки, температурный режим и динамическое качество станка.

Как известно, ведичина суммарной виброскорости является достаточно универсальным критерием качества изготовления узла станка, позволяющим также дифференцированно выявлять дефекты деталей и сборки. Это особенно важно для шпинделя, уровень вибрации холостого хода которого мал по сравнению с общей вибрацией главного привода и станка в целом, в акустический контроль отдельно взятого шинидельного узла осложнен малым уровием его шума по сравнению с фоном. Отсюда, контроль виброскорости отдельного узла во время его обкатки представляется необходимой операцией, предшествующей общему виброконтродю ставка. Только на этой стадии сигнал суммарной вибрации чувствителен к определяющим качество дефектам изготовления и сборки плинделя.

Вибросостояние полностью описывается пространственным спектром виброскорости и частотной характеристикой узля. На рис. 1 приведен спекто виброскорости в направлении X, измеренный и области головного подининника шпинделя бесконсольно-фрезерного станка. Конструктивная схема шинидельного узла ясна из рис. 2. Измерения проводились пьезоакселерометрами типа 1ПА-9 с однократным интегрированием сигнала в сочетания с узконолосным гетеродинным анализатором спектра типа С4-12 (полоса пропускания ±3,5 Гц на уровие 3 дБ) и использованием в качестие опорного сигнала частоты вращения импульсов фотодатчика.

Предварительным расчетом, на основе известных кинематических соотношений [1] для подшинников качения с учетом комбинационных частот [2] от взаимодействия его элементов, были определены ожида емые частоты дискретного спектра в функции частоты вращения, указаниые в табл. 1.

1996							-
T	ũ	Q.	1	ш	14	a	- 1

+	
Паименование дефекта	Частоты
Дисбаланс сепара ора	ls.
Разноразмерность тел качения по взаимодейст- вия с лефектом неподнижного кольца	RJ <sub>C</sub>
Разноразмерность тел качения по изанмоленет- пии с дефектом пращающегося кольца	$\begin{array}{c c} kf_{\text{OTL}} & k(f_{\text{B}} - f_{\text{C}}) \\ f_{\text{DTR}} & k(f_{\text{B}} - f_{\text{C}}) \stackrel{+}{\to} f_{\text{C}} \\ f_{\text{BTR}} & (f_{\text{B}} - f_{\text{C}}) \stackrel{+}{\to} f_{\text{B}} \end{array}$
Дефект неполвижного кольца	$f_{\mu\nu} = k \ell_e z_{\mu\nu}$
Влаимодействие дефектов неподвижного и вра-	$kf_{\text{BKQ}} = k(f_0 - f_c) z_{18}$
Дефект пращающегося кольца	$kf_{ii}$
	$f_{\text{new}} = k f_{\text{new}} + f_{\text{n}}$
Некруглость тел качения	BRIG - MIZE
	$ \begin{vmatrix} kf_{0} \\ f_{0KB} \\ f_{0KB} \\ f_{1KB} \\ f_{1KB} \end{vmatrix} = kf_{1KC} \pm f_{0} $ $ \begin{cases} f_{1KB} \\ f_{1KB} \\ f_{1KB} \end{cases} = kf_{1KC} + f_{0} $
	J 716N]

В табл. 1 частоты сепаратора  $f_{\rm e}$  и тел качения  $f_{\rm in}$  выражаются через частоту  $f_{\rm n}$  вращения нижеследующими соотношениями: для радиально-упорного подициника

$$f_{\rm c} = \frac{f_{\rm s}}{2} \left( 1 - \frac{d_{\rm tk}}{D_{\rm c}} \cos \beta \right); \quad f_{\rm tk} = f_{\rm c} \left( 1 + \frac{D_{\rm c}}{d_{\rm tk}} \cos \beta \right);$$

для упорного подшипника

$$f_c = \frac{f_s}{2}$$
;  $f_{\tau \kappa} = f_c \frac{D_c}{d_{\tau \kappa}}$ ,

где  $d_{i\kappa}$  — диаметр тел качения;  $D_{
m c}$  — диаметр сепаратора по оси центров тел качения; 4 — угол контакта.

Путем точного измерения частоты (цифровым частотомером) обнаруженных составляющих, сопоставления с набором ожидаемых частот, выявления зависимости от изменения частоты вращения и, в ряде случаев, путем синхронизации с опорным сигиалом, были идентифицированы практически все составляющие. На рис. 1 сплошными, пунктирными и штрих-пунктирными линиями изображены составляющие, соответственно принадлежащие каждому из трех подшинников шпинделя, а под осью абсинсе даны обозначения, указывающие на источник возбуждения. Как следует из рисунка, спектр оказался достаточно богатым, и многие из ожидаемых составляющих проявились в спектре конкретного шпинделя. На том же рисунке показаны кривые изменения амплитуды спектральных составляющих при изменении их частоты, отображающие амилитудно-частотную характеристику шпиндельного узла; кривые получены плавным изменением скорости вращения ининделя. Сопоставление формы частотной зависимости с интенсивностью линий показывает, что спектральные составляющие расположены, в основном, в областях резонансов, иными словами, огибающая спектра подобна амплитудно-частотной характеристике. Этот вывод показывает, что суммарная виброскорость ( $V_{\rm S,Y}$  складывается из участков спектра в резонансных

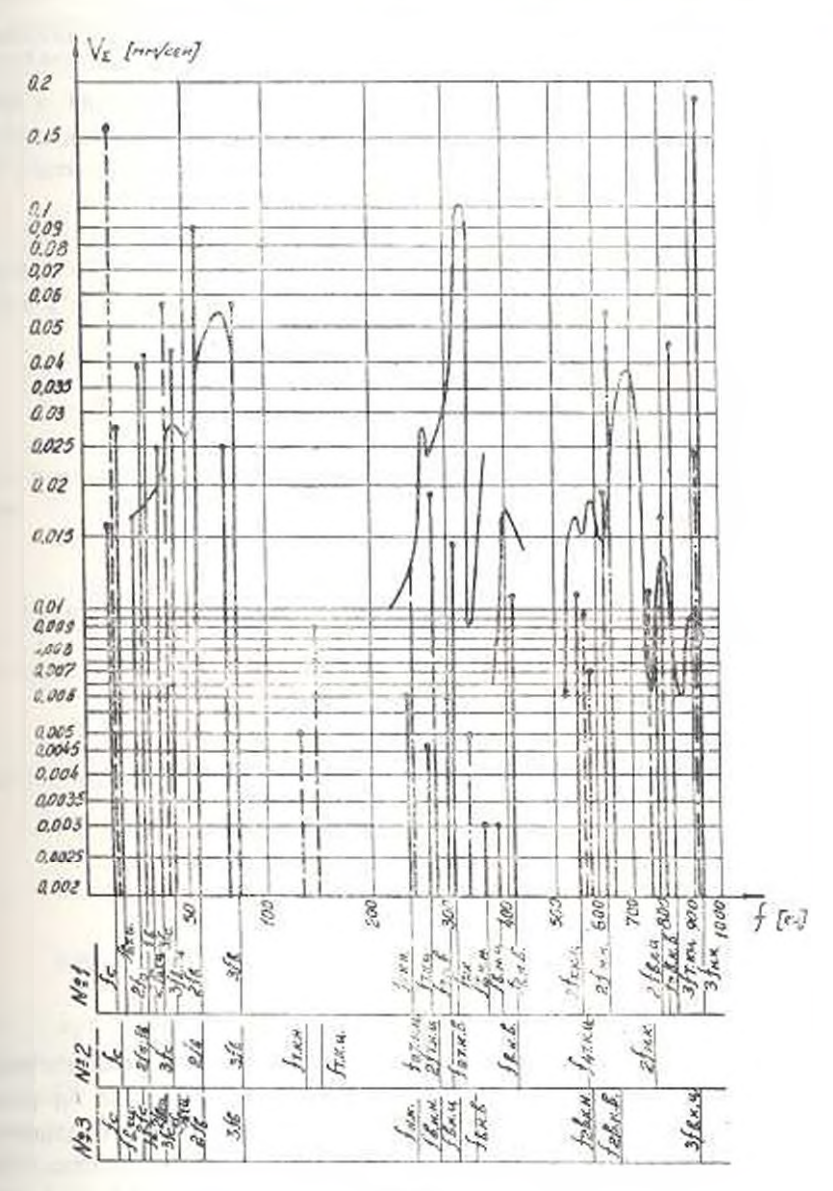


Рис 1

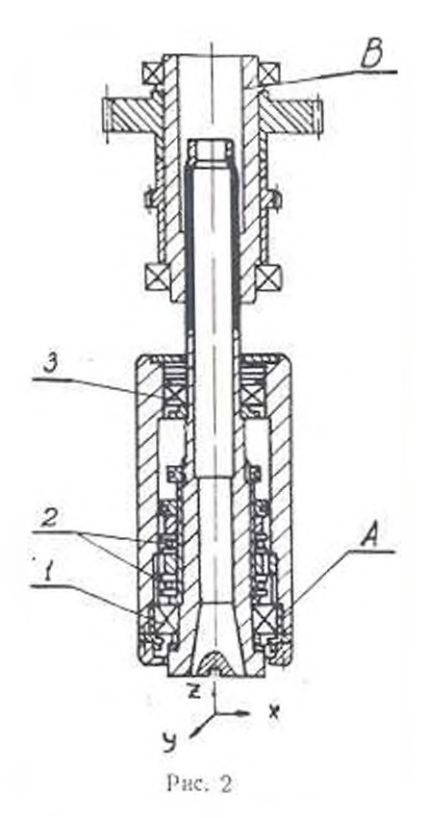
областях и чувствительна к дефектам гогда, когда соответствующие им спектральные составляющие понадают в эти области. Уровень  $V_2$  определяется как интенсивностью возмущений от дефектов, так и резонансиыми свойствами системы (демифированием, или добротностью Q).

С другой стороны, вибрации станка при резании возникают в большой степени на собственных частотах шпиндельного узла и зависят от тех же факторов: от добротности резонансов при вынужденных колебаниях вследствие воздействий прерывногого резаиня, а также от ин-



тенсивности возбудителей колебаний холостого хода при автоколебательных режимах непрерывного резаиня [3].

Таким образом, технологические дефекты изготовления и сборки выражаются как в изменении разонаценых свойств узла, так и во внесении периодических силовых воздействий, порождающих соответствующие колебания.



Зависимость резонаисных свойств от дефектов проиллюстрируем изменением частоты и добротности резонанса в области 311  $\Gamma_{\rm H}$  (рис. 1) в функции некруглости посадочной поверхности A под головной подшинник (рис. 2). Внесение трехгранности с максимальным отклонением 10 мкм привело к изменению резонаисной частоты  $\omega_{\rm p}$  на 9  $\Gamma_{\rm H}$  и увеличению добротности Q примерно вдвое. Ясно, что параметры  $\omega_{\rm p}$  и Q зависят также от регулирования осевого натяга подшинников.

Интересным примером возникновения резонанса вследствие дефекта является нараметрический резонанс из-за эксцентричности нерабочей поверхности В приводной шлицевой втулки (рис. 2). В нартии шлиндельных головок была обнаружена резко повышениая вибрация при 800 об/мин, причем при всех других скоростях пращения уровень вибрации был существенно ниже. Несмотря на то, что собственная частоти этой втулки с насаженной шестерней-маховиком находится в пределах  $f_c = 40 \div 45 \Gamma \eta$ , наблюдался явно выраженный резонанс в области частоты 13,3  $\Gamma \eta$ . Анализ показывает, что модель движения алекватно описыва-

ется дифференциальным уравнением с переменной жесткостью с, определяемой деформацией втулки как оболочки. При этом

$$c = k0$$
. (1)

где 3—переменная толщина втулки в направлении постоянно действующей силы зубчатого зацепления: к коэффициент, зависящий от материала и расчетных условий.

Выражая 6 через наружный (D) и впутренний (d) диаметры, эксцентриситет e и текущий угол поворота a можно получить (1) и виде

$$c = k \left\{ \frac{D}{2} - \frac{d}{2} \cos \left| \arcsin \left( \frac{2e}{d} \sin \omega t \right) \right| - c \cos \omega t \right\}$$
 (2)

После разложения (2) в ряд Маклорена и учета первых двух членов ниеем

$$c = k\alpha \cdot (a_0 - 3e\cos \omega t), \tag{3}$$

где  $\zeta_0 = \frac{D-d}{2}$  — средняя толщина втулки.

Уравнение свободных колебоний

$$mx + cx = 0$$

после подстановки (3) и от = 2- примет вид уравнения Матье:

$$\frac{d^2x}{dz^2} + (a-2q\cos 2z)x = 0, \tag{4}$$

где

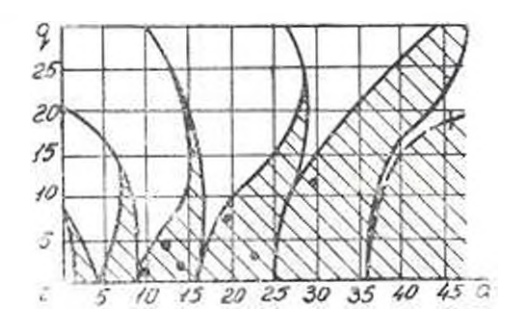
$$a = \frac{4k\delta_0}{m\omega^2} = 4\left(\frac{\omega_c}{\omega}\right)^2; \qquad q = 1.5 \frac{e}{\epsilon_0} a; \quad \omega_c = \sqrt{\frac{k\delta_0^2}{m}}.$$

Поскольку основная частота переменной составляющей усилия зацепления (в правой части уравнения движения) совналает с частотой изменения переменного коэффициента, возникает резонанс если нараметры a и q попадают в одну из зои неустойчивых решений уравнения Матье по известной [4] днаграмме Айнса-Стретта (рис. 3). Действительно, при  $\omega_c = 2\pi(40:45)$   $ce\kappa^{-1}$  и  $\omega = 2\pi 13.3$   $ce\kappa^{-1}$  имеем  $a = 36 \div 46$ , и области граничных значений q, выделенной на рис. 3 пунктирной линией, при  $\delta_0 = 13$  мм соответствуют по (4) значения эксцептриситета в интервале  $1.2 \div 3.5$  мм, в ней и оказались имевшие место смещения ( $e = 1.5 \div 2.2$  мм). Параметры a и q, соответствующие скоростям вращеняя 1000, 1250 и 1600 об/мин, попадают в зоны устойчивости (точки на рис. 3), что тякже соответствонало действительности.

Приведенные выше примеры показывают влияние дефектов на резонаненые свойства; в табл. 2 иллюстрируется зависимость возмущающих воздействий от характера и неличины дефекта.

T 6 | n q a 2

	Составляющие к/ик								
Характер и величина дефекта	k 1 k			-2	k-	-3			
	Value	Ve	$V_{\rm HIM}$	$V_{\rm c}$	Unasi	$V_{\rm c}$			
Исходное постояние Односторонияя деформация 13 мкм, эл-	0.011	1,0	0.019	2.7		-			
липеность 6 мкм Эллипеность 50 мкм	(1:034 (1:220	3.1	0.019 0.280	33.0	0.031	0.4			
Трехгранность 10 лекля	0.089	9.6			0.036	$\frac{0.1}{2.3}$			



Pac. 3

В табл. 2 для составляющих — см. табл. 1) дефекта формы исподвижного кольца приведены величины виброскорости, измеренные в зоне головного подпинника ( в мм сек), и те же величины и относительных единицах ( $V_c$ ), приведенные к входному воздействию с учетом резонансной характеристики системы. Дефекты различной формы и величины вносились деформированием новерхности 4 (рис. 2). Из табл. 2 следует, что любое искажение формы приподит существенному увеличению воздействия на основной частоте- рост V в  $3.4 \div 9.6$  раза для =1. При этом внесение эллипсности существенно подчеркивает вторую гармонику (39,0 против 2,7 в исходном состоянии для k=2), а трехгранность увеличивает долю третьей гармоники в спектре (2,3 по отношению к 0,4 для k=3).

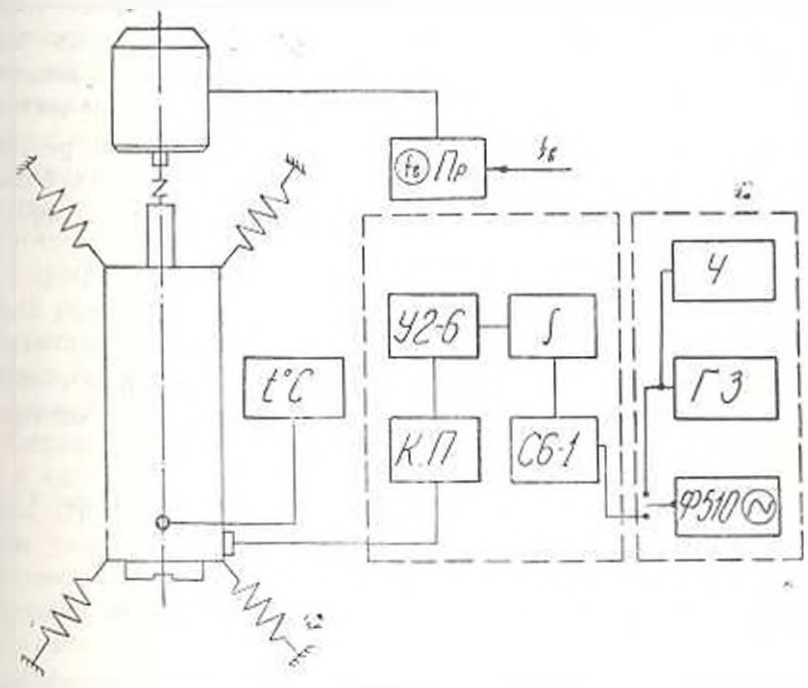
Приведенные выше соображения о вибросостоянии шпиндельного узла позволяют организовать его производственный вибрационный контроль как две последовательные операции:

- 1. Измерение и контроль по суммарной виброскорости  $V_{\Sigma}$  .
- 2. Анализ суммарной виброскорости дефектных шиниделей.

Первая операция требует задания таких режимов вращения, при которых все ожидаемые спектральные составляющие попалают в ту или иную известную резонансную область. Для рассматриваемого злесь шинидельного узла сопоставление таблицы частот ожидаемых составляющих с выявленными частотными зонами резонансов позволяло установить, как минимум, три контрольных режима из ряда чисел оборотов шиниделя (200, 630, 1600 об/мик). Измеренная суммарная виброскорость сопоставляется со статистически установленной нормой, в соответ-

ствии с которой шпиндели отбраковываются и сортируются (например, исполнения обычного и повышенного качества).

Вторая операция предполагает диагностику причин превышения  $V_2$  установленной нормы. Для этого необходимо выделить области спектра, в которых частотные составляющие наиболее значимы по своим величинам, затем выполнить разделение резонансной характеристики и возмущающего воздействия, т. е. измерить Q и  $V_{\star}$ , и, наконец, увязать найденные величины с технологическими дефектами на основе зарансе выработанных приемов распознавания (например, сопоставлением измеренной частоты с габлицей ожидаемых частот дефектов, сравнением величии гармоник).



Pag. 4

На рис. 1 ноказана схема производственной установки, позволяющей осуществлять вибрационный контроль шинидельных узлов и ряд днагностических операции. Шинидель устанавливается в зарезонансном подвесе для виброизоляции от внешних возбудителей и приводится во вращение через торсионный вал от двигателя постоянного тока с нидикацией частоты вращения  $f_{\rm B}$  и регулируемым приводом. Сигиал, пропорииональный виброускорению, преобразуется пьезоакселерометром типа  $1\Pi\Lambda$ -9 чувствительностью 250~mB/g и через катодный посторитель (КП) с входным сопротивлением более 4~mOм, широкополосный усвлитель (У2-6) и интегратор поступает на вход измерителя нелинейных искажения (С6—1). Последний пастраивается на подавление составляющей, соответствующей частоте вращения  $f_{\rm B}$ , и своим квадратическим вольтметром измеряет суммарную виброскорость  $V_1$  всех составляющих спектра, кроме подавляемой. Подавление  $f_{\rm B}$  необходямо для

выделения сигнала, чувствительного к дефектам независимо от величины дисбаланса пиниделя (т. е. линия  $f_n$ ), часто определяющего V. Вместе с измерителем температуры нагрева швинделя ( ${}^{\text{to}}$ C) описанияя аппаратура составляет блок контроля.

Отдельно выделен блок янализа, который состоит из резонансного анализатора (индикатор нуля типа Ф510) е регулируемой добротностью в пределах 3 : 40 и электроннолучевой трубкой, звукового генератора и цифрового частотомера. При минимальной добротности резонатор, аналогично полосовому фильтру, позволяет быстро обнаружить частотные зоны значимых составляющих. После обнаружения такой вамичена и потти и инприменения частоты в поточности и потуп в поточности и потуп в поточности и поточности и потуп в поточности и пото спектральная составляющая совмещается с резонансной упругой системы (контроль по максимуму сигнала Ф510), и затем в режиме с максимальной добротностью апализатор подстранвается на эту же частоту. С помощью сенератора и частотомера произнодится точное измерение величин  $m_1$  и  $V_0$  и резонансе. Далее, обеспечивая путем изменения скорости вращения небольшую расстройку Ам и измеряя при этом яеличину 1/2., составляющей, полу наем возможность определиты:

$$Q = \frac{\omega_{\nu} V \overline{(V_{\nu}/V_{\nu} - V_{\nu} - 1)}}{2\Delta \omega}; \qquad V_{\nu} = \frac{V_{\nu}}{Q}.$$

Таким образом, осуществляется разделение резонансных свойств Q и величины  $V_{\rm c}$  возбуждения от дефекта. Измеренные частоты используются для выявляетия природы дефекта.

Чаревизнанский станкостроительный закол

Претупило 4.ХІ.1974.

## u. d. labonibulanda

## ՀԱՍՏՈՑԻ ԻԼԱՅԻՆ ՀԱՆԳՈՒՅՑԻ ԹՐԹՌԱՍՏՈՒԿՈՒՄ

#### 11. մ փուփում

Իլային հանդույցի քիրքոտվիճակի որոշումը կատարվում է քրքեսժան արադուքիյան տարածական սահկարի վերլուծության հիման վրա Ցույց է արված սիստեմի ռեզոնանսային հատկությունների կախումը հետազոտվող հանդույցի թերություններից։

Քերված է Ոերոշիլուններից առաջացած ռեզոնանսի օրինակ։ <mark>Իլային</mark> Հանդույցի քիլիռավիճակի Հասկացուիլունը քիույլ է տալիս կազմա<mark>կերպել</mark> արտագրական քրիստոտուղում Հատուկ սարրավորման միջոցով։

## ЛИГЕРАТУРА

- Подшининики качения. Спраночное пособае под ред. П. А. Спинына и А. П. Спрашевского «Машин — М., 1961.
- 3. Кидинов Б. Л. Динамика станков. Ита. «Машиностроичие», М., 1967.
- Прочность, устойчиность, колебания. Справочник, под ред. Н. А. Епргера и Я. Г. Пановко, т. 3, изд. «Машиностроение», М., 1968.

Տեխնիկական գիտութ. սեշիա XXIX, No. 3, 1976

Серия технических наук

МАШИПОСТРОЕНИЕ

# г. б. багдасарян, а. о. геворкян

# ОПТИМАЛЬНЫЕ УСЛОВИЯ ДЕФОРМАЦИИ СТРУЖКИ ПРИ ОБРАБОТКЕ НА АВТОМАТИЧЕСКИХ ЛИНИЯХ

В настоящее время в индивидуальном и серийном вроизводствах машиностроительной промышленности получили шпрокое распространение резцы конструкции ВНПИ, оснащенные грех-, четырех-, пяти- и шестигранными пеперетачиваемыми (ПЕП) пластинками из твердого сплава с вогнутой формой передних поверхностей. Эти резцы работают без регулируемых стружколомов. Завивание и дробление стружки достигается за счет их вогнутой формы. В связи с ростом автоматизации технологических процессов и применением металлирежущих станков с программиым управлением актуальность применения неперетачиваемых резцов еще больше возрастает. Это объясияется тем, что такие инструменты по принципу действия отвечают современным гехнико-экономическим требованиям (отсутствие операции напайки и заточки, быстроеменность, многогранность, взаимозаменяемость).

Однако резны конструкции ВППИ не получили широкого применения в массовом произодстве в связи с образованием нежелательной формы стружки, схолящей в виде длинных полос, обматывающихся вокруг резна и обрабатываемого изделия. Это следует объяснить недостаточной изученностью влияния передних поверхностей и углов при их вершинах на механизм стружкообразования и деформацию синмаемого слоя металла.

Цель данного исследования заключается в определении условий оптимальной деформации срезаемого слоя в зависимости от формы передних новерхностей пеперетачиваемых пластии.

Анализ геометрической формы передних поверхностей трех, четырех, пяти- и шестигранных пластин конструкции ВНПП (см. рис. 1)
показывает, что, несмотря на существенное геометрическое различие
между ними, имеется признак, объединяющий их в единую группу
режущих инструментов. Передняя новерхность у всех форм этих пласгин представляет из себя усеченную пирамиду, в которой «заборная»
часть образована перессчением двух боковых граней пирамиды в части,
примыкающей к ее основанию. Поскольку принцип язаимозаменяемости
всех граней рассматриваемых пластин вынуждает нас на определенном
этапе перессчения плоскости главного сечения в направлении к вершине А (т. е. от ав к азвании пересечения этой плоскости с рабочей передней
наменения формы линии пересечения этой плоскости с рабочей передней

поверхностью режущей властинка, мы приходим к тому, что условия схода стружки, следовательно и степень деформации срезаемого слоя, должны изменяться после того, как движущаяст илоскость перейдет за точку В. Как пидно из рис. 1, угол перелома линии пересечения фувеличивается с переходом от грехгранных к шестигранным иластинкам.

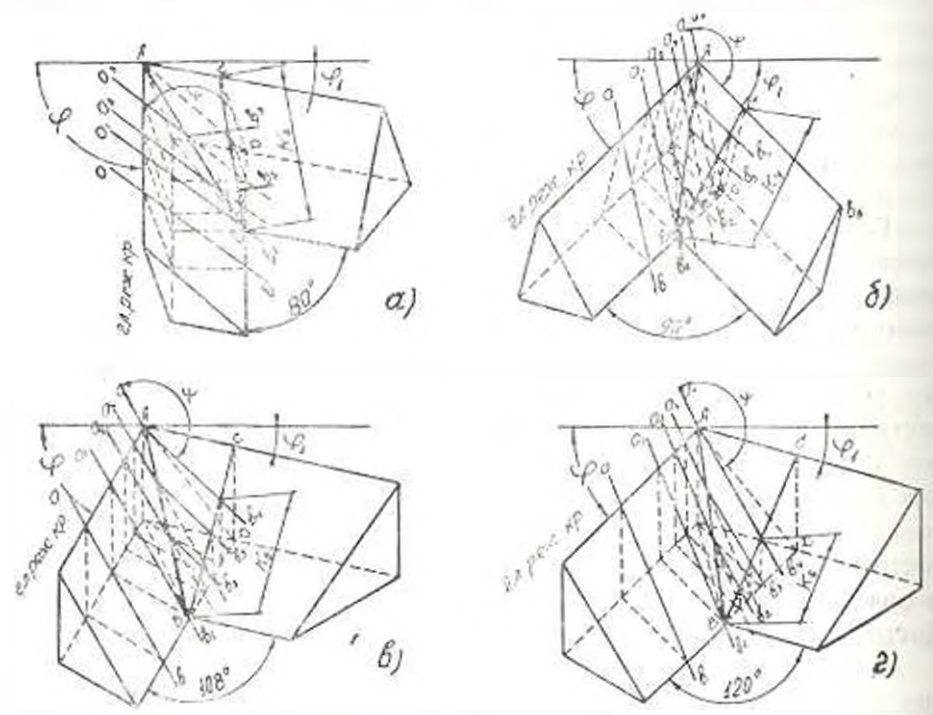


Рис. 1. Геометрические формы передних поперхностей неогрегачиваемых иластия:

- а трехгранион (с. 40°, уд. 10°).
- о четырехгранной (ф. 41 1
- 6 BRID par Bon (7 60°, 71 1 °)
- и шестиграничи (ф. 45°, т. 13°).

Неперетачиваемые многогранные пластины, выпускаемые фирмами - Кеннеметалл» (СПА), «Санданк К фомант» (Шведия) и др., имею: специальные стружкозавляется ные канавки постоянного сечения, расположенные в неш средственной близости от режущей кромки. Однаю, как показала практика, канавки с постоянным сечением не обеспечивают надежного дробления стружки при различных условиях работы С целью достижения большей универсальности в последнее время те же фирмы запатентовали неперетачиваемые пластины с переменным радвусом стружколомающих канавок [1, 2], которые сложны в изготовлении.

Главное достоинство формы передних поверхностей конструкции ВНИП, как это видно из рис. 1, заключается в универсальности создания условий деформации срезаемого слоя. В зависимости от поставленной задачи путем соответствующей установки их на резподержавке можно добиться образования любой формы стружки. Это обусловливает необходимость донска оптимального варианта установки пласти!

на резцодержавках. Решение этой задачи позволит четко установить возможности применения иластии ВПИИ на автоматических линиях. Кроме того, профиль передних поверхностей достаточно технологичен. Некоторое сомнение вызывает равномерность распределения плотности прессования в различных точках пластии, связанная с реакими переходами профиля передних поверхностей. Данный вопрос, по мнению авторов, имеет важное значение для работы с заланной стойкостью и подлежит исследованию.

Решению основной задачи предшествовало предварительное исследование с целью сравнительной качественной оценки стружкоблокирующих способностей конструкции передиих поверхностей грех-, четырех-, пяти- и шестигранных неперетачиваемых пластии. Для этого была организована группа технологов для визуального наблюдения за формой схода стружки в производственных условиях\*.

Исследования проводились при продольном точении заготовок днаметром 100 -- 200 мм на четырех станках модели 153 при достаточной жесткости СПИД в отсутствии выбраций. Обрабатываемыми материалами служили Сталь 3 и Сталь 45. Этим самым преследовалась цель оцецить влияние механических свойсти материалов.

Геометрические параметры испытуемых резцов приведены в табл. 1

Tabunga 1

Резеп	Утам п гр			іс ўглы, ад	Задино	: углы рад	Угол наклона главной режу- шей крамки	
	T <sup>*</sup>	71	Туст	As I	2	a,	4	
Грехгранный Четырехгран-	90	10	S	14.5	5.5	6.5	()	
ยมด์	-15	15	7	[34)	7+0	3.00	3	
Патигранизи	60	12	7	14.0	6.0	6.0	- 5	
Шестиграниын	45	15	7	13.0	7.41	3.5	()	

Анализ визуальных наблюдений показал, что при режимах резаиня \$>0.51 мм об, t>1 мм и т>160 мумин эксплуатационные качества этих резцов сильно ухудшаются. Наблюдается притеспенный схол стружки, приваривание ее к головке центрального базового штифта, а в некоторых случаях даже к кренящему клину; наблюдается поломка неучаствующей в процессе резаиня резервной кромки, а также выкрашивание кромок центрального технологического отверстия.

Для проведения серии экспериментов авторы, используя выявленные факторы, влияющие на улучшение формы стружки, применили метод факторного эксперимента. Илан и результаты экспериментов приведены в табл. 2. Длительность одного опыта должва была обеспечиты стабилизацию процесса резания при работе на заланном режиме, а также получение количества стружки для надежного определения се

<sup>&</sup>quot; Механический аех № 3 Ленанаханского тавода «Страмы по об-

усадки по длине. Исходя из этого, необходимое время опыта принято равному времени одного прохода резца на 500 мм.

Tabinna 2

		Haan	экс	периме	нтов		c   yh	продоль			rpyal-	предоль-
A skelleplinenta		Тив инстру- мента	96.8	Козфенинент пр ной устки	М эксперимента	Тип инстру- мента	TO MA CNO, 18 TO THE STATE OF T	Козфонимент про				
1	85	10-25	1,5	Ст. 45	всухую	четырех- граниып,	C	1.58	13	трехгран- шап, ==80°	В	1,82
2		11/25		Ст. 3	СОЖ		D	2+26	14		В	1.85
3		11.25		Cr_ 45		-	.4	1 :73	15		B	1.76
1	85	0.51		Ст. 3	DCVXVIO	4	B	1586	16	1.6	B	1 -80
3		0.51		Gr. 3	сож		B	[181]	17	1.6	B	1,79
6		0,51		Cr. 3	BEVXVIO	-	В	1.71	18		В	1.75
	85	0.25		Ст. З	КОЭ	шестигран- нын 120°	E	2534	19	иятиграюный 120	Л	1.81
	165	0.25		Cr. 45	HCZZAło		D	2,04	20		15	1,65
9	165	0.25	1.0	C1. 3	пслхлю	100	C	2+06	21		1)	2.25
10	1713	0.51	1.5	Cr. 3	HCYXYIO		B	1.85	45)	1.0	B	1.82
	165	0.51		Cr. 3	ЖОЭ		4	1.75	23		-4	1.69
12	85	0.51	1.5	Cr. 45	СОЖ		В	1572	24		B	1.78

Выбиралась та форма стружки, которая отличалась стабильностью образования в период прохождения полного прохода.

После завершения экспериментов стружки фотографировались, а затем классифицировались по формам, которых оказались всего иять. Формы стружек, условно обозначенные буквами A, B, C, D и E, приведены в табл. 2 и на рисунках 2, 3, 4 и 5.

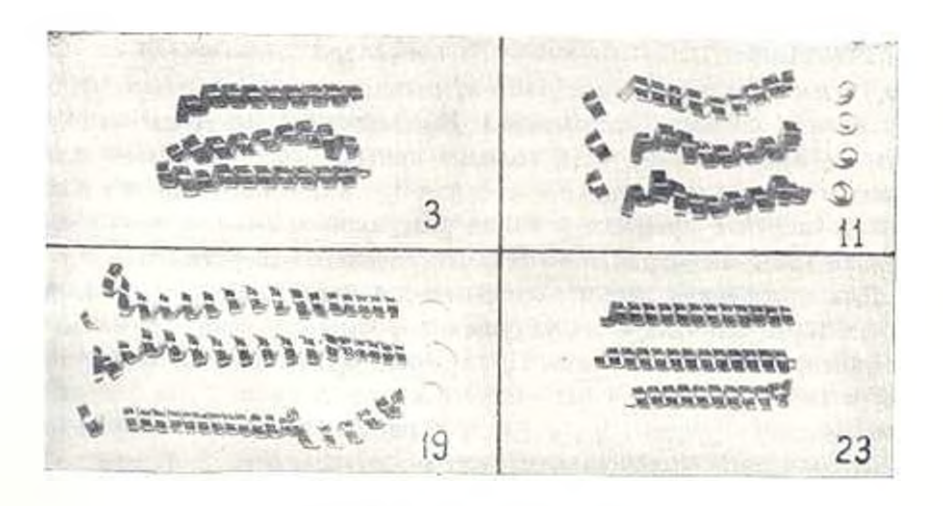


Рис. 2. Стружки формы А

Величина коэффициента продольной усадки стружки определялась несовым методом для 7—10 стружек из каждого опыта.

Форма стружки A принимается за оятимальную. Она представляет собой синраль в виде отдельных отрезков дляной 50—150 мм. Стружка тина B удобна с точки зрения технологии уборки, однако разлетается вокруг станка. Для автоматических же линии гакую форму стружки следует считать пригодной. Стружки гинов C, D и E являются нежелательными, но из них самой нежелательной является форма D.

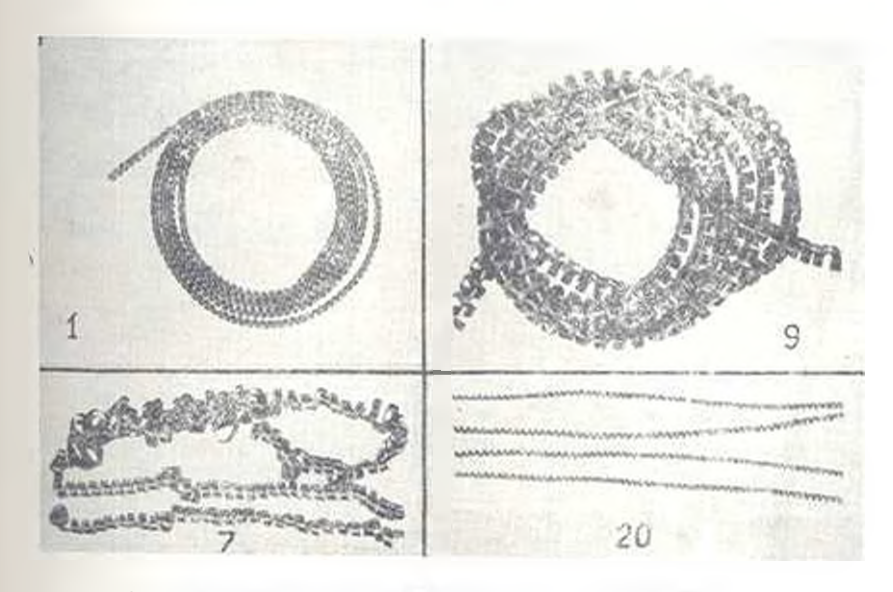


Рис. 3. Стружки формы 🏗 (1; 9) и формы E (7; 20)

Таким образом, требованию задачи данного исследования удовлегворяют стружки форм Л и В. Анализ показателей деформаций срезаемого слоя показывает, что стружки одной формы имеют деформацию одного порядка независимо от гипа инструмента и условий работы, за исключением спойств обрабатываемого материала.

Пределы условий образования стружек Л и В в зависимости от нила резиа и отдельных принятых фактороа могут быть получены из графиков, приведенных на рас. 6. Эти графики построены путем качественной обработки форм стружек и показателей их деформаций. На ших но вертикали размещены формы стружек, а по горизонтали—факторы, влияющие на улучшение формы стружки. Последовательность расположения форм стружек по вертикали находиться в соответствии с возможным переходом одной формы в другую при изменении факторов, расположенных по горизонтали. Данные графики дают возможность определить пределы стружкоблокирующих способностей форм передних поверхностей рассмотренных неперетачиваемых пластии ври существую-

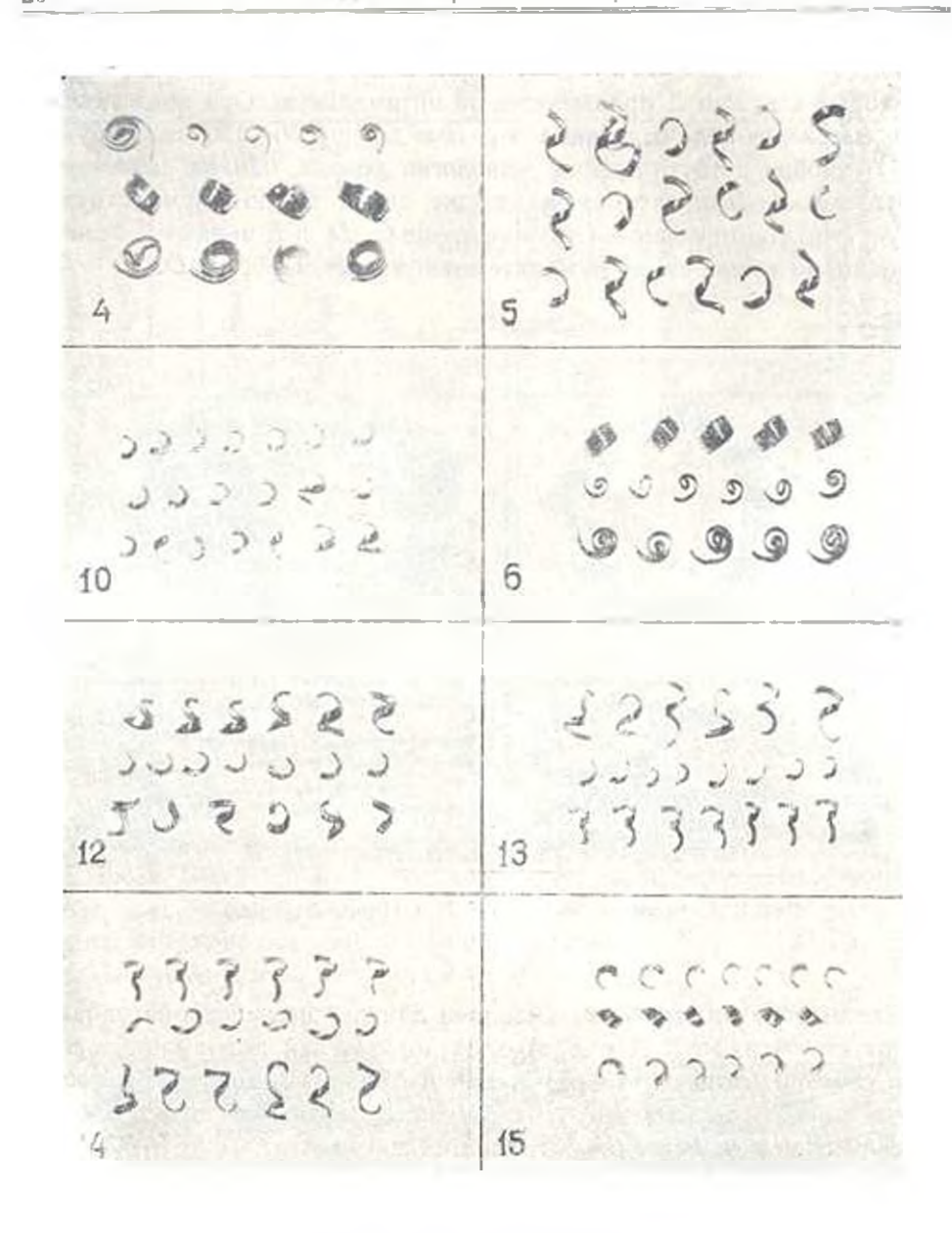


Рис. 1. Стружки формы B

щем варианте установки их на резцедержавках. Заштрихованная область на графиках является областью оптимальной деформации срезаемого слоя. Принимая уровень формы стружки А за начало области, определяется днаназон условий оптимальной деформации стружки. В зависимости от числа граней эти условия приведены в табл. 3. Результаты контрольных экспериментов подтвердили справедливость приведеных в табл. 3 условий.

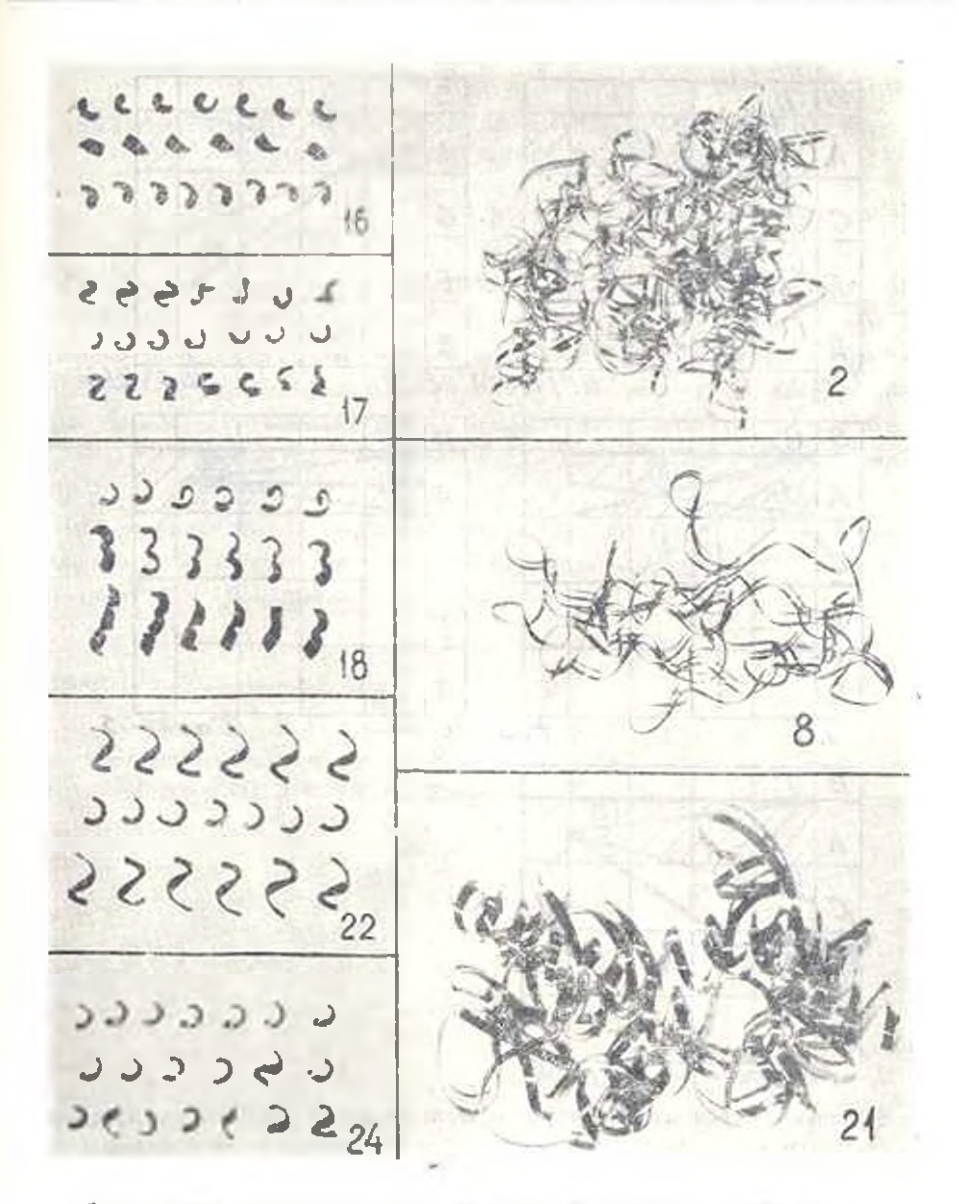


Рис. 5. Стружки формы B (16; 17–18; 22: 34) и формы D (2: 8–21)

Tabiana S

							Габлица З	
	Режи	мы резания		Обрабаты	Рабочая	- CKH	Показатель	
Тин резца	мм ман	s, мм об	f, wa	паемый материал	cheur 7		леформация стружки	
Трезгранный	85 : 165	0.25-: 0.51	1,5-:-4	Сталь 3 Сталь 45		A.=B	1.69 1.86	
Четырехгран- нын	*5 = 165	0+33 : 0+51	1.5-: 4		Всухую СОЖ	A, B	1.69 1.86	
Питвгранцыіг	85-:-110	0,38 : 0,51	1,5;-1	Сталь 3 Сталь 15	сож	A, B	1.65 1.86	
111естигранный	85115	0 -45 : 0 -51	1.5÷1	Сталь 3 Сталь 45		A, B	1.69-1.86	

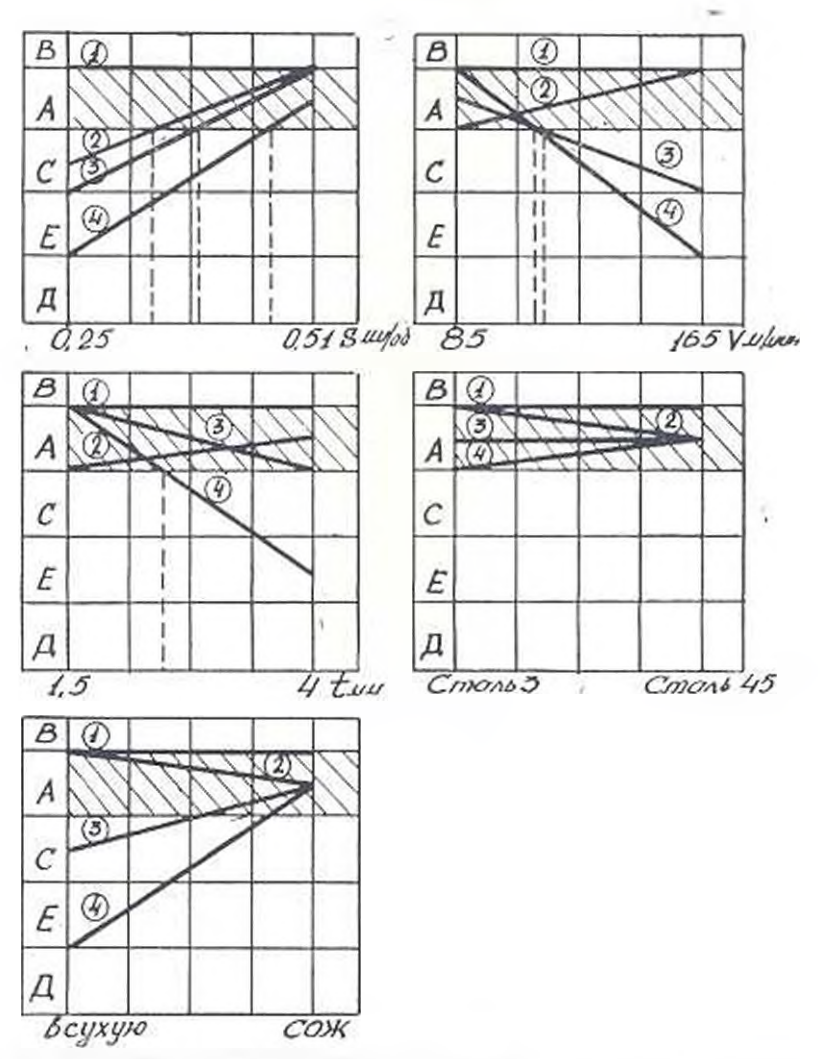


Рис. 6. Влияние основных параметров резаиня на форму стружки при пластинах: I—грехгранной, 2—челырехгранной; 3—пятигранной; 4—шестигранной

# Выподы

- 1 Резец, оснащевный трехгранной неперетачиваемой иластинкой формы 02, заинмает особое место среди всех типов резцов. При принятых уровнях угол в 80° обеспечивает стабильное образование стружки форм А и В независимо от действующих на исго факторов.
- 2. Резцы, оснащенные четырех-, ияти- и шести-ранными пластинками, чувствительны к факторам, влияющим на улучшение формы стружки.

#### Հ. Բ. ԲԱՎԳԱՍԱՐՅԱՆ, Հ. Հ. ԳԵՎՈՐԳՅԱՆ

# որդեր արդերը ար

# Ամփոփում

Ավտոմատ Հաստոցների ու ավտոսատ ղծերի պարկի անընցհատ անժան պ<mark>այմաններում՝ տաշեղադուլադ</mark>ման ձևի և ընույթի հայուկըը, ինչպես նան արտադրողական ռեժիմների ընտրությունը ստանում են մեծ նշանակություն։

Հողվ<mark>ածում ընր</mark>ված է տաշնղադույացման վրա ազդող դործոնների փորձնական հղանակով ստուցումը և առաջարկվում է տաշնղի ազաիմալ ձևի ընտրությունը գործոնային մաքևմատիկական պլանավորման փորձերի միջոցով։

Առաջարկվում են մի շարբ միջոցասումներ, որոնք նպասառմ են օպտիմալ տաշեղաձեի ստացմանը՝ լորվող երեք-, լորս-, Տինգ-, և վեցնիսա կարձր միահալվածքի Բիքեղիկներով աշխատելիս։

#### ЛИГЕРАТУРА

- 1. Экспресс-информация, режущие инструменты, № 8, 1974
- 2 Экспресс-пиформация, режушие инструменты. № 22, 1969.

Տեխնիկական գիտութ, տեշիա X

XXIX, № 3, 1976

Стрия технических даук

#### ВЫЧИСЛИТЕЛЬНАЯ ТЕХНИКА

C. IL MAHYKRH, Э. H. MAHYRRH, B. W. IHICAPEHKO.

# МЕТОД ПОСТРОЕНИЯ ОПТИМАЛЬНЫХ ПОСЛЕДОВАТЕЛЬНЫХ ПЛАНОВ РЕГРЕССИОННЫХ ЭКСПЕРИМЕНТОВ СО СВОИСТВАМИ Е-ОПТИМАЛЬНОСТИ

Проблема извлечения наибольшего количества сведений об изучаемых процессах при ограниченных затратах на эксперименты является весьма актуальной. В этой связи оказывается необходимым применение методов, которые давали бы не только способ обработки экспериментальных данных, измеряемых при воздействии некоторых случайных номех, но и позволили бы оптимальным образом организовать проведение регрессионных экспериментов. Изложим следующую математическую постановку проблемы планирования оптимальных экспериментов, являющуюся достаточно общей.

Пусть на основе априорной информации о механизме исследуемого процесса экспериментатором выбран аналитический вид функции, описывающей связь между координатами  $X_1, X_2, \ldots, X_n$  факторного пространства и исследуемой величиной  $Y_1$ 

$$Y = F(X, Y, Q). \tag{1}$$

Параметры  $Q_1, Q_2, \cdots, Q_n$ , входящие в (1), определяются на основе обработки экспериментальных данных и выбираются, исходя из принципа максимума правдоподобия.

Проблемой планирования экспериментов является определение совокупности тех точек факторного пространства, в которых при реализации экспериментов получаем статистический материал, поэволяющий наилучиным образом оценить искомые значения параметров  $Q_1, Q_2, ..., Q_d$  при минимальных затратах на эксперименты. В настоящее время пря статистической обработке результатов экспериментов наибольшее распространение получил метод наименьних квадратов Пайденные поэтому методу совместные эффективные оценки неизвестных нараметров  $Q_1, Q_2, ..., Q_d$  вмеют дисперсионную матрику [1]:

$$D(Q) = M^{-1}(Q);$$

$$M(Q) = \sum_{i=1}^{n} z_i^{-2} f(X^i) \cdot f^{\tau}(X^i);$$

$$f(X) = \nabla \cdot Y(X, Q);$$
(2)

$$abla^{\dagger} = \left\| \frac{\sigma}{\sigma Q_1} : \frac{\sigma}{\sigma Q_2} : \cdots : \frac{\sigma}{\sigma Q_n} \right\|.$$

где «-1-дисперсия измертний песледуемой величины при 1-ом эксперименте:

M(Q) - информационная матрица Фишера.

Дисперсионная матрина D(Q) геометрически ин (ерпретируются как искоторый эллипсоил рассемия интик Q и постранстве неиз-

как некоторый эллинсова рассемняя проток Q пространстве невайстных параметров, объем, площаль поверхности, сумма волутеей и подобные геометрические нараметры которого характеризуют близость

полученных оценов Q в их ветинным значениям [2] Существу і целый рил методик по составлению оптимальных иланов, миними прующих вараметры вланисовла рассеяния на множестве планов в заданной области. Большинство разработлиных к настоящему премени иланов морошо зарекомендовали себя в простых задачах, при небольшом количестве неизвестных параметров Q; и линейных моделих Встречаемые же на практике сложные прикладиме вадачи отличаются силгно выраженной нелинейностью и наличием больщого числа испавестных параметров в предполагаемой математической модели исследуемого процесса. Как показывает практика, применение имеющихся методик по составлению плацов экспериментов, минимитирующих обобщенные пораметры эллипсонди рассеяния, и этих случаях не оправлывают себя. Эллипсонды рассеяния при них получаются сильно вытянутыми, что увеличивает коридор ошибок иск. мых нараметров и затрудияет пропедуру поиска этих параметров по методу наименьших квадратов. Если учесть, что нолуоси эллипсонда рассеяния характеризуются собствен-

ными числами дисперсионной матрины  $\{D(Q)\}$ , то это явление можно устранить, если регрессионные эксперименты проводятся по так называемым E-оптимальным планам, при обработке результатов которых получаются минимальные значения максимальных собственных чисел, изответствующих дисперсионной матрице. Но при построении подобных планов возникает необходимость многократного выполнения трудоемкой операции определения собственных чисел матриц, что и является существенным препятствием при построении и применении E-оптимальных планов. Для разрешения вышеналоженных проблем в настоящей статье предлагается метод построения планов последовательных экспериментов, позволяющий после обработки их результатов уменьщить вытянутость эллинсонда рассеяния, при этом опускается грудоемкая операция вычисления собственных чисел матриц

При нашем стремлении к уменьшению вытяпутости эллинсопда рассеяния и коридора ошибок искомых параметров, естественно было бы поставить перед каждым новым (N41)-ым экспериментом залачу иннимизации выражения

$$|1+\alpha\Phi(N+1)|L[D(N+1)] = \min_{x \in X} |1+\alpha\Phi(N+1)|L[D(N+1)].$$
 (3)

где а-постоянный коэффициент;

X—точка в факторном пространстве, где должен проводиться очередной ( N+1)-ый эксперимент;

L—функционал, ставящий и соответствие каждой матрице D(N+1) некоторую скалярную величину, характеризующую точность определения оценок искомых параметров,

В частности он может быть  $\det D(N+1)$ , использование которого приводит к минимизации объема эллипсонда рассеяния,  $\operatorname{Sp} D(N+1)$ , минимизирующий сумму полуосей эллипсонда, и т. д.

 $\Phi(N+1) = \Phi(N,X)$ —положительная функция, находящаяся в пропорциональной зависимости от максимального разброса собственных чисел дисперсионной матрицы D(N+1).

Присутствие в (3) функции  $\Phi(N+1)$  позволит наряду с уменьшением обобщенных параметров эллипсонда рассеяния, как это делается в широко распространенных методах планирования, уменьшить также и его вытянутость. В качестве функции  $\Phi(N+1)$ , удовлетворяющей вышеуказанным требованиям, предлагается применять функцию вида:

$$\Phi(N, X) = \sum_{\substack{l=1\\j=1\\l\neq j}}^{n} \left(\frac{v_{l} - v_{j}}{v_{l}}\right)^{2} = \sum_{\substack{l=1\\l=1\\l\neq j}}^{n} \left(\frac{i_{l} - \lambda_{l}}{h_{j}}\right)^{2}, \tag{4}$$

где w-i-ос собственное число дисперсионной матрицы оценок искомых параметров, полученных в результате обработки данных N+1 экспериментов;

 $L_{l}=rac{1}{\gamma_{l}}-i$ - ое собственное число, соответствующее информационной

матрице Фишера.

При непосредственном вычислении функции  $\Phi(N, X)$  по формуле возникает необходимость выполнения трудоемких операций по определению собственных чисел информационной матрицы. Покажем, что выражение (4) можно вычислять и без определения самых собственных чисел  $t_i$ .

Заменим функцию (4) некоторым ее приближением, которое также достаточно хорошо характеризует разброс собственных чисел дисперсионной матрицы, т. е.

$$\Phi(N, X') = \sum_{\substack{l=1\\j \neq 1\\l \neq j}}^{n} \left( \frac{\lambda_{l} - \lambda_{f}}{\lambda_{e\mu}} \right)^{n}.$$
 (5)

где

$$\lambda_{ep} = \frac{1}{n} \sum_{l=1}^{n} \lambda_{l}$$
.

Преобразуем последнее выражение:

$$\Phi(N, X) = \frac{1}{\lambda_{cp}^2} \sum_{\substack{i=1\\j=1}}^{n} (\lambda_i - \lambda_j)^2 = \frac{1}{cp} \left[ n \sum_{i=1}^{n} \ell_i^2 - \left( \sum_{i=1}^{n} \lambda_i \right)^2 \right].$$

Используя известные соотношения матричной алгебры [3], отражающие связи между собственными пислами матрицы с ее элементами, получим:

$$\Phi(N, X) = \frac{n^2}{\left(\sum_{i=1}^n m_{ii}\right)^2} \left| n \sum_{\substack{i=1\\j=1}}^n m_{ij} - \left(\sum_{i=1}^n m_{ii}\right)^2 \right| =$$

$$= \frac{n^2 \left\{ n \sum_{\substack{i=1\\j=1}}^n m_{ij}^2 - |\operatorname{Sp}M(N+1)|^4 \right\}}{|\operatorname{Sp}M(N+1)|^2}$$
(6)

где  $m_{ij}$  — элементы информационной матрицы M(N+1).

Использование формулы (6) для выписления функции  $\Phi(N+1)$  уже не представляет особой трудности и не требует выполнения таких трудоемких операции, как определение собственных лисел, обращение матриц и т. д.

Уменьщению вытяпутости эдлинсонда рассеяния способствует также и обоснованный выбор скаляра L[D(N+1)]. Практика примснения так называемых А-оптимальных планов, при котовых минимивируется SpD(N+1), показывает, что при достаточной эффективности каждого эксперимента, проведенного по такому плану, эллинсоилы получаются менее вытянутыми. Основным препятствием применеино таких планов на практике можно считать необходимость выполнения обращения матриц на каждом шагу поисковой процедуры оптимизации функционала (3); при поиске необходимо вычислять значение SpD(N+1) = Sp[M(N) + 1, \*(X)f(X)f(X)], \* при различных значениях Х. Заменяя трудоемкую операцию обращения информапионной матрицы более простыми, можно облегчить вычислительный процесс при поиске минимума функционала (3). Покажем, что такая замена при вычислении Sp  $M^{-1}(N+1)$  возможна, если известно значение  $\operatorname{Sp} M^{-1}(N)$  и изморяемая величина  $Y_i$  характеризующая исследуемый процесс, является одномерной. Для этого преобразуем выражение для Sp D(N-1) к виду:

$$Sp D(N+1) = Sp [M(N) + a^{-2}(X) f(X) f^{+}(X)]^{-1}$$

$$= Sp [I + M^{-1}(N) a^{-2}(X) f(X) f^{+}(X)]^{-1} M^{-1}(N).$$

Примем  $M^{-1}(N) = D(N)$ :  $D(N) = {}^{-1}(X) f(X) = A$ ;  $f^{-1}(X) = B$  и воспользуемся следующей леммой [1]:

$$[I_p + A + B]^{-1} = I_p - A[I_q + BA]^{-1} + B.$$

гле  $I_p$  и  $I_q$ —единичные матрицы размера  $p \times p$  и  $q \times q$ ; A—матрица размера q p.

Тогда

$$Sp D(N+1) = Sp[I_m - D(N)z^{-2}(X)]f(X)[1 + f^+(X)D(N)z^{-2}(X)]f(X)]^{-1} \times f^+(X)[D(N)].$$

Обозначив  $[1:f](X)D(N) \circ {}^{2}(X)f(X)]^{-1} = R$ , получим:

$$\begin{split} & \operatorname{Sp}D(N+1) = \operatorname{Sp}[I_m - RD(N) \sigma^{-2}(X) f(X) f^{\top}(X)] + D(N) = \\ & = \operatorname{Sp}D(N) - \operatorname{Sp}RD(N) \sigma^{-2}(X) f(X) f^{\top}(X) D(N) = \\ & = \operatorname{Sp}D(N) - \operatorname{Sp}R\sigma^{-2}(X) f^{\top}(X) D(N) D(N) f(X). \end{split}$$

Так как в последнем имражении второе слагаемое представляет собой скалярную величину, то окончательно можно записать:

$$Sp D(N+1) = SpD(N) + [1+f^{\tau}(X)D(N)\sigma^{-1}(X)f(X)]^{-1}f^{\tau}(X)\sigma^{-2}(X) \times D^{2}(N)f(X).$$
(7)

Оченидно, что при вычислении SpD(N+1) по формуле (7) не требуется выполнения операции обращения матрии. Вместо нее выполняются операции умножения матриц, что не представляет собой особых нычислительных трудностей.

Обобщая полученные результаты, предложим следующий итерационный алгоритм метода последовательного планирования оптимальных экспериментов;

- 1. Проводится некоторый стартовый эксперимент из  $N_{\mathfrak{g}}$  измерений;
- 2. Проводится обработка результатов измерений стартового эксиеримента методом наименьних квадратов, в результате которой получаются однозначные опенки  $Q_{\ell}$  и приближенное значение их дисперсионной матрицы;
- 3. Опредсляются координаты точки факториого пространства, в которой необходимо проводить следующее (A+1)-ое измерение как координаты вектора  $\lambda$ , минимизирующего метрику (3)

$$\min_{x \in X} \frac{1}{1 + 2} \Phi(N, X) [L^{\dagger} D(N, X)].$$

На каждом шагу поиска минимума последнего функционала используются ранее полученные выражения (6) и (7);

4. Проводится (N+1)-ый эксперимент при найденных значениях факторов  $X_1, X_2, \dots, X_n$ , после результатон которого уточияются ранее найденные значения оценок  $Q_I$  и соответствующей дисперсионной матриды;

5. Проверяется условие

$$|Q_i(N+1) - Q_i(N)| < \varepsilon_i, \quad (i=1, 2, ..., n)$$
 (8)

где s<sub>i</sub>—заранее заданное малое число.

Если условие (8) не удовлетворяется, то выполняется вереход к операциям, описанным в пункте 3, в противном случае итерационный процесс планирования и экспериментирования прекращается.

В качестве примеря рассмотрим химическую реакцию типа

$$R \rightarrow P_1 + P_2$$

в которой реагент R—первичный спирт с длиниой цепочкой;  $P_1$ —олефия;  $P_1$ —вода. Теоретический анализ данной реакции показал, что она может быть описана следующей моделью:

$$Y(X, Q) = \frac{Q_2 Q_3 X_3}{1 - Q_3 X_3 + Q_3 X_3}.$$
 (8)

где Y—скорость реакции:  $X_1$  и  $X_2$  парцивльные давления продуктов R и  $R_1$  соответственно,  $Q_1$ —константы реакции.

**Требуется за**иланировать и режлизовать эксперименты, результаты которых познолят как можно точнее определить  $Q_1, Q_2, Q_3$ . Будем сяктать, что эксперименты можно режлизовать в области

$$0 \cdot X_1 = 3; \quad 0 \cdot X_2 \in 3.$$

Зисперименты и результаты измерении будем имитировать, используя таблицу случанных чиссл. Предполагается, что Y нормально распределено около среднего Y изметреней y годисперсией y годинательно изместина:  $Q_{yy} = 2.9$ ;  $Q_{yy} = 12.2$ ;  $Q_{yy} = -0.69$ . (Предполагается, конечно, что значения  $Q_{yy} = 3$ кспериментатору неизместны.)

Принедем стартовый эксперимент в четырех точках факториого пространства [1; 1]: [2; 1]: [1; 2]: [2;2]. В которых измерение Y дало результаты:  $Y_1=0.126$ :  $Y_2=0.219$ ;  $Y_3=0.076$ ; =0.126. Предварительные оценки Q получения нове этих данных, равиы  $\overline{Q}_1=10.39$ ;  $Q_2=48.83$ :  $\overline{Q}_3=0.74$ . Принимая, что оценки  $\overline{Q}$  (4) не слишком отличаются от истинных, вычисляем функцию f(X)=y+Y(X,Q(4)) в четыре стартового эксперимента. Составляем информационную матрицу для пяти экспериментов:

$$M(5) = M(\overline{Q}_i, X) = \sum_{i=1}^{N} f(\overline{Q}_i, X_i) + f(\overline{Q}_i, X_i) + f(\overline{Q}_i, X) f^{\top}(\overline{Q}_i, X).$$

где X-координаты точки пятого эксперимента в факторном пространстве.

Используя элементы полученной матрицы, составляем функционал Ф(4, X) по формуле (6). Подставим его в (3) и с помощью вонсковой программы на ЦВМ находим точку в факторном пространстве, в которой функционал (3) получается минимальным.

Вычисления на ЦВМ дали следующие значения:  $X_1 = 0.152$ ;  $X_1 = 0.01$ . При расчетах на ЦВМ и качестве L(D(N+1)) в формуле (3) использовался  $\det D(N+1)$  [1]. Эксперимент, проведенным в этой точке, дал результат Y = 0.352. Используя его, получим:

### $\overline{Q}(5) = ||3,05; 13.5; 0.8||.$

Вышеописанным же образом планируем и реализуем следующие эксперименты. Результаты планирования и опытов представлены в табл. 1.

T	Œ	6	.1	ы	77	a	- 1
---	---	---	----	---	----	---	-----

Помер опыта	$X_{i}$	$X_3$	Q,	$Q_2$	Q,
1	1,00	1+00		_	_
2	2,00	1.00	_	_	_
3	1.00	2,00	_	_	_
4	2.00	2700	10,39	48,83	0.74
5	0.15	0.01	3705	13,50	0.80
(i	3.01	0.01	3.11	13,30	0.65
7	0.19	0.00	3.04	12,50	0,60
8	3.01	0.01	3.06	12,45	0.68
9	0.21	0.00	3.00	12+17	0.68
10	3,00	1.05	2,95	12+16	0.67

Сравнивая полученные результаты с результатами планирования и опытоп, проведенвых в работе [1] для выяснения механизма рассматриваемой здесь реакции, приходим к выводу, что предложенная в настоящей статье методика позволила при меньшем количестве экспериментов получить оценки искомых нараметров  $\overline{Q}_c$  с меньшим значением коридо ра опибок. Тах, например, в работе [1] составлялись D-оптимальные последовательные планы экспериментов, которые после 13 экспериментов позволили получать оценки:

$$Q(13) = ||3,57; 12,77; 0,63||$$
.

Гаким образом, предложенная методика позволяет получать планы экспериментов, близкие к *E*-оптимальным, при этом не требуется много-кратного выполнения таких трудоемких вычислительных операций, как нычисление детерминантов, собственных чисел, обращение матриц и т. д.

ГрПП им. К. Маркел.

Поступила 19.V1.1975

Ա. Ն. ՄԱԿՈՒԿՅԱՆ, Է. Ե. ՄԱՆՈՒԿՅԱՆ, Վ. Ն. ՊԻՍԱՐԵՆԿՈ

### ՌԵԿՐԵՍԻՈՆ ՓՈՐՉԵՐԻ E-ՄԿՏԻՄԱԼԱՅԻՆ ՀԱՏԿՈՒԹՅՈՒՆ ՈՒՆԵՑՈՂ ՀԱՋՈՐԳԱԿԱՆ ՊԼԱՆԱՎՈՐՄԱՆ ՄԵԹՈԴ

U. differential of

Այիսատանրում առաջարկվում է փարձերի օպաիմալ պրահավորման մե-Սող, որի հայասակն է պարդել հետաստավող երևույնի - որոնվող մանեմատի կական նկարադրի մեջ մանոց անմայա հասատառնների որոշումը։ Առաջարկվող մեթողը թեույլ է տալիս վարձերի ժինիմալ քանակի դեպքում ստանալ որոնվող հաստատունների արժեքների դնահատականը մեծ Ճշտությամբ։ Գորձերի պլանավորման առաջարկված մեթեոդր իրականացնելու համար յի պահանջվում բարդ, աշխատատար հաշվողական դործողություններ։

### ЛИГЕРАТУРА

- 1. Федоров В. В. Теория оптимального эксперимента. Изд-во «Паука», 1971.
- 2 Sibson R. (1972) Discussion of paper by H. P. Wynn, I. R. Statist, Soc. B-34, 181-3.
- 1 Пароди М. Локализания характеристических чисел матрии и ее применение, Изд-во «Иностр. литература», 1960.

Տեխնիկական գիտութ, սեբիա

XXIX, Nº 3, 1976

Серня технических вачк

#### ВЫЧИСЛИТЕЛЬНАЯ ТЕХНИКА

### и в сарафян, м и авакии

### ЗАДАЧИ УПРАВЛЕНИЯ ДЛЯ СИСТЕМ КОНЕЧНЫХ АВТОМАТОВ

В ст. п. рагем тривают, і вростення — С. разполання плиня денствая рабо та поможных возстатех, принодящие в пелесообразному доне стоя татомито сложного тип. В то проста венстворются м тола кезал поможеници вонечного летоматом для ок. — дето простению — тих сроинев по изакможенетного.

Рассмотр ім вопроста оптимального заравлентя коллектиком ангемитон, состоящим в з n -тохастических литоматов  $A_1, A_2, \ldots, A_{H_1}$  которые функционируют зараллельно. Состояние всей системы определяется вектором

$$S = (S_1^{(i)}, S_1^{(i)}, \dots, S_{i_n}^{(n)}),$$
 (1)

гле  $S_{ik}^{(k)}$  — состояние автомата  $A_k$ . Для каждого состояния  $S_{ik}^{(k)}$  автомата  $\pi_k$  имеется набор управлений. Будем считать, что для состояния всей системы (1) управление представляет собой вектор

$$t = (U_1, U_2, \dots, U_n), \tag{2}$$

пле одно из угравлений автомата  $A_k$  для состояния S. Если в своем функционировании автоматы  $A_1, A_2, \ldots, A_n$  как-то свиданы между собой, по следует с штать, что не все наборы (2) возможны в качестве управлений для состояния системы (1). Будем предполагать, что для каждого состо иня (1) им ется набор сигналов управления; число этих сигналов, вообще говоря, меньше, нежели число всех возможных векторов (2). аждому сигналу соответствует некоторый вектор управления (2).

Исходя из матрии переходов для автоматов 1. 42 ш 1<sub>п</sub>, можно построить матриим береходов для всей системы. Готда всю систему можно рассматриват, как дли автомат. Однако характеристика и педения этого автомата может определяться по разному. Остановимее на твух сетественных толхода: к определению характеристики поведения системы, так, пользуясь терминами динамического программарования, определению ее долода.

Для удобства и сложения откажемся от инвенной нумерации состоины системы, Тутем считать, что, если нее множестно состоиный

представить в виде всктора, го 11) будет компонентой этого гектора с номером  $t_1, t_2, \ldots, t_n$ .

Первый подхоо. Одноваговый доход системы F определяется как функция от соответствующих доходов автоматов  $A_1, A_2, \ldots, A_n$ :

$$|F|_{I_1, \dots, I_m} = \gamma([f_1]_{i_1}, |f_2|_{i_2}, \dots, |f_n|_{i_n}).$$
 (3)

В этом случае оптимизация полного дохода, т. е. ноиск оптимального стационарного решения, осуществляется методами, описанными в [1].

Например, если у автоматов  $A_1, A_2, \ldots, A_n$  есть поглощающие состояния, и время жизни всел системы определяется первым тактом, таким, что все автоматы окажутся в поглощающих состояниях, то для времени жизни системы вектор F определяется через соответствующие векторы  $f_1, f_2, \ldots, f_n$  следующим образом:

$$[\overline{F}|_{I_1,I_2,\dots,I_n} = \max ||\overline{f_1}|_{I_1}, ||f_2|_{I_2}, \dots, ||f_n||_{I_n}].$$
 (4)

Если же время жизии системы определяется тактом, когда впервые какой-пибудь из автоматов  $A_1, A_2, \dots, A_n$  попал в поглощающее состояние, то вместо (4) веобходимо использовать соотношение

$$|F|_{i_1,\dots,i_n} = \min |[f_1]_{i_1}, |f_1|_{i_1}, \dots, |\overline{f_n}|_{i_n}|.$$
 (5)

Второй подход. Полный доход системы не определяется пошагово. Каждый авгомат  $A_k$  имеет свой одношаговый доход  $f_k$ , и полный доход (при соответствующем управлении), определяемый пошагово, то поведение системы при некотором управлении оценивается через вектор  $(X_1, X_2, \dots, X_n)$  с помощью некоторой функции

$$[\overline{X}]_{i_1,\ldots,i_n} \leftarrow \phi([X_1]_{i_1}, [\overline{X}_2]_{i_2}, \ldots, [\overline{X}_n]_{i_n}),$$
 (6)

Однако, так как система связана, то каждый доход  $[X_k]$ , получаемый автоматом  $A_k$  при начальном состояния, зависит теперь от состояния других автоматов. Поэтому теперь следует вместо вектора  $X_k$  рассматривать вектор, имеющий размерность, равную количеству состояний всей системы. Тогда задача приобретает следующий вид. Дан один автомат A (вся система рассматривается как один автомат), для которого с помощью управления U пошагово определяется песколько доходов  $X_1, X_2, \ldots, X_n$ . Необходимо найти такое управление, чтобы оптимизировать вектор  $X_i$ , где

$$[X]_i = \psi([\overline{X}_1]_i, [\overline{X}_2]_i, \dots, [\overline{X}_n]_i)$$

$$(7)$$

(здесь для автомата A мы использовали обычную липейную нумерацию состояний).

Таким образом, если первый подход не приводит к принципиально

новым задачам (увеличивается лишь размерность искомого вектора), то второй подход порождает новый тип задачи. Можно показать, что эта задача, вообще говоря, не решается итерационным методом и гребует определенного перебора. Однако представляют интерес некоторые частные случан, которые могут встретиться на практике, допускающие использование итерационного метода.

Прежде всего отметим случай, когда функция 2 является линейной (доходы ввтоматов  $A_1,\ A_2,\dots,\ A_n$  суммируются с некоторыми весами):

$$\mathbb{P}([\overline{X}_1|_i, [\overline{X}_2]_i, \dots, [\overline{X}_n]_i) = \sum_{k=1}^n \lambda_k |\overline{X}_k|_i, \tag{8}$$

Очевидно, что этот случай сводится к ситуации, возникающей при исрвом подходе. Действительно, определив для свей системы одношаговый доход.

$$\overline{F} = \sum_{k=1}^{n} \lambda_k \overline{f_k} \tag{9}$$

с помощью соответствующей лицейной комбинации одношаговых доходов, мы можем образовать лицейную комбинацию рекуррентных соотношеный для пошагового вычисления доходов  $X_1,\ X_2,\ldots,\ X_n$ , в результате чего получим рекуррентное соотношение для пошагового вычисления дохода X:

$$\overline{X}_{k+1} = \dot{F}(u) \cdot A(u) X_k. \tag{10}$$

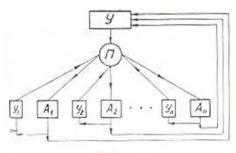
Таким образом, задача сводится к задаче, рассмотренной в [1].

Легко решается также случай, когда управление каждым автоматом пезависямо, а функция — э является монохоние убывающей или возрастающей по всем своим аргументам

Рассмотрим схему, приведенную на рис, 1.

На этой схеми каждый автомат  $A_k$  имеет свое управление  $V_k$ , получающее виформацию о состояниях автомата  $A_k$ . Однако непос-

редственной связи от  $V_k$  к  $A_k$  нет; все  $A_k$  управляются через устройство переключения H, которое может подключить любое  $V_k$  к любому  $A_l$ , либо вообще ничего не подключать к  $A_l$  (т. е. отключить этот автомат). Действия переключающего устройства I7 осуществляются в соответствии с сигналами, поступающими от общего устройства управления  $V_k$  которое через каждые T тактов получает информацию о состояниях всех автоматов  $A_1, A_2, \ldots, A_n$  и на основания этой виформации выдает сигналы устройству  $H_k$  устанавливающие соответсвующий режим работы всей системы на очередные T тактов.



Pirc. I

Рассмотрим два типа устройства H. Первый тип осущестилиет включение на T тактов одного из автоматов  $A_k$ , который работает под воздействием своего управления  $\mathcal{Y}_k$  (г. е. работает по собственной программе), остальные автоматы отключаются, г. е. каждый из находится в одном в том же состоянии в течение T тактов. Второй тип осуществляет выбор одного из управляющих устройств  $\mathcal{Y}_l$ , под воздействием которого в течение T тактов работают все автоматы  $A_k$ ,  $A_2$ , ...,  $A_n$ . В последнем случае будем говорить, что автомат  $A_l$  функционирует свободно, а все автоматы  $A_k$ , где  $k \neq l$ , лишены свободного функционирования.

Естественно, это не единственно возможные тины устройства H и соответствующего управления V. Однако они характерны для многих нерархических системных задач, поэтому и мы выбрали их в качестве объекта исследования.

Рассмотрим задачи управления конечно-автоматной системой, когда в соотношения (7) функция ф определяется следующим образом:

$$\psi(\xi_1, \, \xi_2, \, \ldots, \, \xi_R) = \min(\xi_1, \, \xi_2, \, \ldots, \, \xi_R),$$
 (13)

т. е. действие всей системы оценивается по автомату, функционирующему "наихудшим" образом. Если автомат отключей на время T, то будем считать, что его доход за это время равей нулю. Пусть T будет достаточно большое. Тогда имеет смысл пользоваться предельными оценками дохода для автоматов  $A_1, A_2, \ldots, A_n$  в течение T тактов и искать приближения и алгоритм оптимального управления.

1 Если устройство  $\Pi$  является устройством первого типа, то для каждого автомата  $A_k$  следует рассчитать всктор дохода  $X_k$ . Напомним, что размерность вектора  $X_k$  равна числу состояний автомата  $A_k$  для каждого состояния свой доход. Тогда для работы устройства Y можно рекомендовать следующий алгоритм. По вектору состояний  $S=(S_1^{(i)},S_1,\dots,S_{l_n}^{(n)})$  определяется вектор доходов состояния  $S_n^{(n)}$  автомата  $A_k$   $(k=1,2,\dots,n)$ 

$$([X_1]_{i_1}, [\overline{X}_2]_{i_2}, \dots, [\overline{X}_n]_{I_n}).$$
 (14)

Управление Y должно включить тот автомат  $A_k$ , у которого соответствующее  $[X_k]_{I_k}$  наибольшее среди всех компонент вектора (14). Остальные автоматы відключаются.

2. Если устройство H является устройством второго типа, то поиск оптимального управления M осуществляется иначе. Для нахождения оптимального управления следует рассматривать взаимодействие кажлой пары автоматов  $(A_k, A_l)$ , когда автомат  $A_k$  является свободно функционирующим, а автомат  $A_l$  нет. Пару автоматов можно свести к рассмотрению одного стохастического автомата  $B_{kl}$ , состояниями которого являются пары состояний. Для каждого автомата  $R_k$  можно рассчитать вектор дохода, решая соответствующую систему уравнений. Тогда управление M нужно строить следующим образом. По очереди просматриваем исе автоматы  $A_k$  в качестве свободно функционирующих, т. е. для каждого  $A_k$  при заданном состоянии (1) выписывается набор доходов

$$(y_1^{(a)}, y_1^{(a)}, \dots, y_n^{(b)}),$$
 (15)

где  $y_1^{(k)}$  — доход автомата  $B_{kl}$  в состоянин  $(S_{\ell_k}^{(s)}, S_{\ell_k}^{(s)})$ .

Среди компонент вектора (15) находим минимальную компоненту, которую мы обозначим через  $Z_k$ . Среди всех  $Z_k$  найдем наибольшую. Пусть соответствующий номер автомата — m. Тогда управление  $\lambda$  должно предоставить автомату  $A_m$  свободное функционирование.

Если отрезок времени T небольшой, то методика построения оптимального управления M будет иной. Она будет состоять в переходе к другому масштабу времени: функционирование системы будет рассматриваться не во премени  $\pi$  и во времени  $\pi$  гле  $\pi = \pi'T$ 

Если устройство H принадлежит к перяому типу, то для каждого автомата  $A_8$  необходимо его рассматривать совместно с  $Y_k$  как автономное устройство, выписать его стохастическую матрицу  $P_k$  и найти ее степень  $P_1^T$ . Тогда все сведется к функционированию автономных автоматов (которые мы обозначим через  $D_1, D_2, \dots, D_{k-1}$  во времени с матрицами  $P_1^T, P_1, \dots, P_{k-1}^T$ . По матрице  $P_k^T$  для  $D_k$  вычисляется вектор дохода. В даниный момент времени и вектору состояний (1) определяется набор доходов для каждого  $D_k$ , и включается тот автомат  $A_k$ , для которого этот доход наибольний.

Очевидно, этот алгоритм можно рекомендовать для не очень малых значений T. При небольшом отрезке времени T описанный гагоритм будет работать неудовлетнорительно, так как будет слящком приближенным. Если T мало и мы хотим найти в точности оптимальное управление, то необходим не только переход от времени в времени  $\tau'$ , но и необходимо рассмотрение всей системы как такного автомата. В частности, это относится и к случаю, когда успробство H— второго тина.

Поступало 4.111. 1971

### Հ և ՕԱՐԱՏՅԱՆ, Մ Ն ԱՎԱԳՅԱՆ

### ՎԵՐՋԱՎՈՐ ԱՎՏՈՄԱՏԵՆԻԻ ՀԱՄԱԿԱՐԳԵՐԻ ԿԱՌԱՎԱՐՄԱՆ ՄԻ ՔԱՆԻ ԽՆԳԻՐԵՆԸ

### Ավփոփում

Հողվածը նվիրված է վերջավոր ավտոմատների համակարդերի կառավարման խնդիրներին։ Դիտվում են բարդ կտոավարման համակարդերի պարզեցված երկու վարկած։ Այդ վարկածները (մոդելները) վերաբերվում են այսպես կոչված բազմամակարդակ կտոավարվող համակարդեր դասին։ Ուսումնասիրվում են տարբեր դեպքեր՝ երբ համակարդի առաջին և նրկրորդ մակարդակներում դանվող ավտոմատները ունեն կառուդվածրային և աշխատանջային տարբեր ցուցանիչներ և բնությագրեր։

Ոհրված են նման շամակարգերի ուշիւաստանրը բնութքադրող մի բանի ալդորի**թքն**եր։

### ЛИГЕРАТУРА

I Сарафли Н. Е. Одна звдача нерархических систем автоматов. Пэв. АН СССР Техническая киберистика», № 4, 1968

### - ZUSUUUU UUZ ЭРSПРӨВПРИБЕР ИЧИТЬ ГРИЗН БЕДБИЦЭРГ ИЗВЕСТИЯ АКАДЕМИИ НАУК АРМЯНСКОЯ ССР

Տեխնիկական գիտութ. սեշիա XXIX, № 3, 1976

Серия техинческих ваук

ЭЛЕКТРОТЕХНИКА

### А. А. ГОРУНЯН, А. Н. ЦАТУРЯН

## О ДВИЖЕНИИ ДИЭЛЕКТРИЧЕСКОГО СЫПУЧЕГО МАТЕРИАЛА В ЭЛЕКТРИЧЕСКОМ ПОЛЕ КОРОННОГО РАЗРЯДА

Движение мелкозеринстых и сыпучих материалов (каарцевый песок, манная крупа, зерновые в т. д.) в трубопроводах и желобах сопровожлается разделением электрических зарядов. В подавляющем большинстве случаев процесс зарядки носит несимметричный характер [1], в результате чего материал в ислом оказывается униполярно заряженным. Наличее электрического заряда на частицах приводит к изанимому отталкиванию и вызывает некоторую их переорнентацию. В итоге плот ность унаковки частиц, а следовательно, и насыпной вес сыпучего материала изменяется [2]. Таким образом, плотность электрического заряда сыпучего материала является одной из характеристик его движения.

Роль электрических зарядов в поведении сыпучего материала усиливается при наличии внешнего электрического поля, которое возбуждает дополнительную силу. В сильных полях эта сила может быть значительно больше силы электростатического отгальныями между частицами.

Выявление представительной зависимости движения сыпучего материала от интенсивности взаимодействия его объемного заряда с висшним полем при использовании естественной зарядки трудно осуществимо. Поэтому целесообразно использовать искусственную зарядку, что можно реализовать в электрическом поле коронного разряда. Зарядка сыпучего материала в поле коронного разряда по сравнению с другими способами искусственной зарядки (контактной, факельным разрядом и г. д.) предпочтительна; во-первых, потому, что параметры электрического поля, а следовательно, плотность заряда материала легко регулируемы, п, во-вторых, зарядка в взаимодействие с внешним полем происходит одновременно. Кроме того, как будет показано изже, этот способ зарядки представляет самостоятельный интерес.

Исследование движения сыпучего материала в электрическом поле коронного разряда было проведено для системы коаксиальных цилипаров с радпусами  $r_0$  п R, имеющей следующее коиструктивное исполнение (рис. 1). В нижией части бункера 2, изготовленного из изоляционного материала, на съемном дне 3 крепится коаксиальная система цилипаров 4 и 5, между которыми горит коронный разряд. Коронирующий цилиндр 5 токопроводом 6 соединен с отрицательным полюсом вы-

соковольтного выпрямительного устройства 7, положительный полюс поторого заземлен. Коронирующий цилиндр 5, в качестве которого была вспользована латунная проволока диаметром 0,3 мм, натянут по оси пилиндра 4 при помощи двух топких изоляционных стержией 8, вриклеенных к его внутренией поверхности. Под коронирующей систенной установлен электромагнитный клапан с горизонтальным холом,

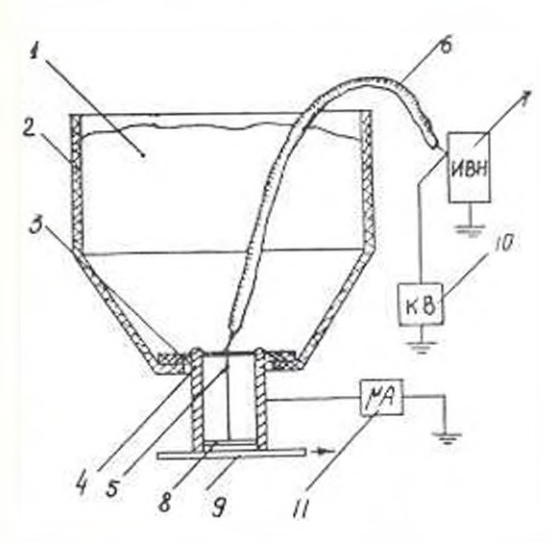


Рис. 1. Схематический вид экспериментальной установки

пеполнительным органом которого служит диэлектрическая пластинка 9, приложенная к цаляндру 4. Напряжение, приложенное к коронарующей системе, измеряется киловольтметром 10, ток в разрядной цени—инкроамперметром 11. В качестве сынучего материала использовалась нанная крупа. При закрытом положения электромагнитного клапана напная крупа 1 в количестве 3,6 кг заполняется в бункер 2. Высокое напряжение необходимой величины подается на коронирующую систему, прегистрируется ток коронного разряда. После чего включается электромагнитный клапан, который, отодвигая пластинку 9 по направлению стрелки, вызывает истечение сыпучего материала и одновременно включает электросекундомер. В каждом эксперименте регистрируются: приложенное напряжение U, ток в цепи I время истечения сыпучего материала I. Результаты, полученные для четырех использованных цилиндров, вриведены в табл. 1, где I длина цилиндра.

Прежде всего отметим, что измеряемый ток  $\bar{t}_{nm}$  складывается из двух составляющих:

$$i_{\text{new}} = i - |i_{\text{op}},$$
 (1)

где t—ток коронного разряда;  $I_{\rm np}$ —ток проводимости.

Для оценки значения  $i_{np}$  исследуемый материал был помещен между электродами Роговского, и для днапазона напряженностей, имеющего место в экспериментах, определялась удельная проводимость  $\gamma_1$ . Ока-

залось, что в сильных полях 71 заметно зависит от напряженности. Полученные результаты хорошо обобщаются линейнов зависимостью:

$$\gamma_1 = \gamma_{10} + K \frac{U}{R}. \tag{2}$$

где  $\gamma_{10}$  удельная проводимость при отсутствии сильного поля (т. с. проводимость и слабом поле); K- коэффициент пропоривональности, Для манной крупы измерения даля:  $\gamma_{10} = 0.6 \cdot 10^{-10} \ cu.n/m$ .  $K = 1.35 \cdot 10^{-15} \ cu.m/s$ . Ток проводимости определялся как

$$\bar{t}_{\rm iip} = \frac{U}{R_{\rm iii}}. (3)$$

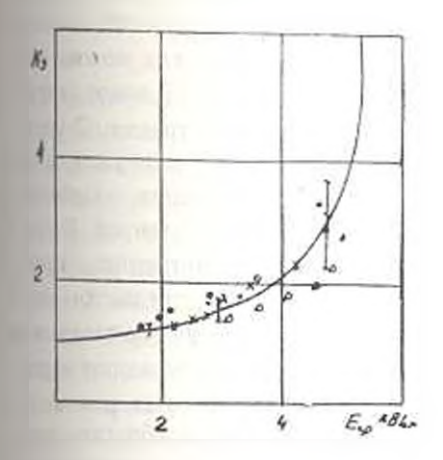
Здесь  $R_{np}$  сопротивление сыпучего материала в цилиндрическом объеме и вычисляется по выражению [3]:

$$R_{sp} = \frac{\ln \frac{R}{r_s}}{2\pi \gamma J}.$$
 (4)

В табл. 1 приведены значения разрядного тока на погонный метр длины полиндров, вычисленные по (1) с учетом (21—(4). Величина гока проводимости  $I_{\rm np}$ —оказалась в несколько раз меньше разрядного тока. Этот факт свидетельствует о том, что коронный разряд является определяющим явлением описываемого процесса.

								Tab.	шца
R = 12,5 m.m., I = 60 m.m	l KB l <sub>M3M</sub> , MKA l, CeK l, MKA M	2:00 0:35 83 5:00	2.45 0.42 95 5.85	2,70 0,74 100 10.9	3,50 0,93 114 13,3	4.50 1.12 136 15.0	5.30 1.35 580 17.8	6.20 1.52 19.1	0,00 0,00 60 0,00
R 14.5 a.a. l 70 a.a	1 100 1 100	3·20 0·45 53 4·88	3,60 0,55 57 5,85	3.90 0.63 62 6.72	4.30 0.74 76 7.58	5.10 0.80 83 7.85	6,20 1,32 95 13,30	7.40 1.67 16.10	0,00 0,00 43 0,00
R=17.5 MM. I=80 MM	l. кв l <sub>11331</sub> , мкл l. сек L. мкл м	3,40 0,31 30 2,50	4.20 0.43 33 3.25	4.90 0.70 38 6.00	5.80 1.33 13 12.70	7.00 1.61 61 14.6	8.00 1.79 79 15.3	9.50 2.12 2.12	0.00 0.00 24 0.00
R 22 мм, I 100 мм	U, ка i <sub>кім</sub> , мка i, сек l, мка м	7.00 1.10 18 6.7	8.00 1.45 20 8.9	9.00 1.80 23 H.0	10.0 2.10 26 12.5	10.5 2.30 30 13.6	11.0 2.50 36 14.7	11.5 2.90 ∞ 17.9	0.00 13 0.00

Графическая интерпретация приведенных в табл. 1 результатов представлена на рис. 2 в виде зависимости  $R_{\rm M}(E_{\rm tp})$ . Пол  $K_{\rm s}$  подразуме-



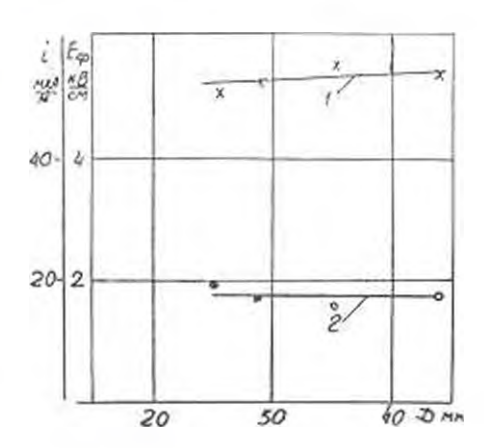


Рис. 2. Зависимость процесса замедления втечения сыпучего материала от интенсивиости электрического поля

Рис. 3. Характеристики запирающего поля при различных сечениях истечения

вается "коэффициент замедления", равный отношению премени истечення данного количества материала при наличии поля со средней вапряженностью 🛴 и времени истечения при отсутствии электрического поля. Обработка результатов, полученных для четырех испольвованных цилиндров, показывает, что с точностью не менее 25% за**исниость**  $K_{s}(E_{co})$  можно обобщать. Она оказывается близкой к кубической параболе, что свидетельствует о значительном усилении роли электростатического поля при больших сечениях истечения. Зависимость запирающей  $(t=\infty)$  напряженности поля  $E_{\mathrm{co}}$ , от сечения истечения представлена кривой 1 на рис. 3, откуда видно, что запирающее поле весьма слабо зависит от сечения истечения. Небезынтересно отметить, что запирание потока сыпучего материала при различных сечениях истечения происходит при практически равных разрядных токах на погонный метр длины цилиндров (кривая 2 на рис. 3). Отметим также, что эти особенности могут оказаться критериальными для обобменного описания процесса истечения электризованных сыпучих материалов. Поэтому, в дальнением необходимо уточнять и выявлять питервалы сечений и свойства материалов, для которых указанные особенвости соблюдаются.

Полученные результаты свидетельствук г о том, что влияние электрического состояния материала на его движение весьма значительно. Физическая картина этого влияния сводится к следующему. Плотность заряда сыпучего материала определяет плотность упаковки, которая проявляется в изменении объемной производительности (Q) через площадь (S) ноперечного сечения коронирующего промежутка:

$$Q = Sv_{cp}, (5)$$

где т средняя скорость движения материала.

Очевидно, что изменение объемной производительности обязано изменению  $v_{\rm cu}$ , которая обусловлена илотностью заряда. Физическую картину влияния заряда на движение сыпучего материала можно свести к возникновению дополнительного давления на стенки цекоронируюшего электрода, а также увелачен по спл внутреннего грения. С увеличением приложенного к коронирующему промежутку напряжения интенсивность разряда возрастает, что приводит к усилению правимодействия как между частицами, так и между частицами и стенкой. В итоге возрастают силы трения. Характер изменения сил инутреннего трения (трение между частицами) весьма сложен и является предметом самостоятельного исследования. Возможно, эти силы по порядку велични не уступают или даже превышают силу грения между материалом а стенкой. Из-за отсутствия более или менее представительных данных поэтому вопросу приходится в первом приближении препебрегать изменением сил внутрениего трения, что, очевидия, впосит существенную погрешность в количественное описание процесса. Следовательно, учет ялияния электрически заряженного состоящия сыпучего материала на его движение можно осуществить вссьма приближенно, который, однако, позволит выявлять определяющие закономерности процесса в целом, качественно подтверждающие характер экспериментально полученных зависимостей.

Пусть давление на стенку, возникшее в результате отталкивающих между заряженными частицами сил. равно  $p_{\bf 0}$ . Тогда сила, действующая на поверхность наружного цилипдра единичной длины, равна

$$p = 2\pi R(p_o + \Delta p). \tag{6}$$

где  $\Delta p$ —давление незаряженного материала на стенку, которым в первом приближении можно пренебречь.

Силя, вызывающая истечение, очевидно, может быть представлена в виде

$$F_{\rm sc} = kd, \tag{7}$$

где d удельный вос сыпучего материала, k некоторый коэффициент определяемый природой сыпучего материала и конструкцией бункера.

В рамках принятого приближения можно допустить, что силой, ограничинающей истечение, является сила трения  $F_{\rm cr}$  между материалом и стенкой, которая равна

$$F_{\rm rp} = k_{\rm tp} P_{\rm s} \tag{8}$$

где  $k_{\tau p}$ —коэффициент трения.

Истечение материала возможно при

$$\rho_{\theta} < \frac{kd}{2\pi Rk_{\tau p}}$$
 (9)

Условием запирания потока будет;

$$p_0 = \frac{kd}{2\pi Rk} \tag{10}$$

Обозначим

$$u = \frac{F_{sq}}{F_{sp}} = \frac{kd}{2\pi Rk_{sp}p_0}$$
 (11)

Очевидно, при прочих равных условиях и определяет среднее значение скорости движения материала  $v_{cp}$ , т. е.  $v_{rp}(p)$ . Допуская независимость коэффициентов k и  $k_{rp}$  от электрического состояния сыпучего материала, можно утверждать, что средняя скорость движения изтериала в коронирующем промежутке определяется "электростатическим давлением"  $p_0$ , Давление  $p_0$  можно вычислить для упроженной модели при следующих допущениях; 1) цилиндры бесконечно длинные, 2) частицы имеют сферическую форму, 3) в коронирующем промежутке материал распределен равномерно, 1) исключается электрический контакт как между частицами, так и между частиции и поверхностью электродов, 5) наличие нонного объемного заряда и объемного заряда частиц не вызывает существенное изменение электростатического распределения поля.

Первые гри допущения правомерны с достаточной точностью. Четвергое долущение приемлемо голько для диэлектрических материалов (это и является объектом нашего рассмотрения). Действительно, перераспределение заряда между соприкасающимися частицами практически исключается при их инзкой поверхностной проводимости, тем более, это площадь возможного контакта весьма незначительна и по данным [1] составляет 10 5 миделево сечения. Пятое допущение вносит определенную источност в, однако, оно существению упрощает оценку электростатического давления.

Сила  $\Delta F$ , имеющая электрическое происхождение и действуюшая в радиальном направлении на единицу объема сыпучего материала, равна:

$$\Delta F = E o_{s} . (12)$$

Плотность объемного заряда сыпучего материала  $\rho_2$  для установившегося режима в рамках лопущений (2)  $\pm$  (4) определяется как [4]:

$$\rho_i = 3 \, \epsilon_0 \, \epsilon_s \, \circ E_s \tag{13}$$

где  $\epsilon_0$ —абсолютная диэлектрическая проницаемость вакуума, равная  $8.85 \cdot 10^{-13}$   $\phi/m$ :  $\sigma$ —удельная поверхность материяла,  $m^2/m^3$ .

Значение в можно определить в рамках допущения равномерности распределения сыпучего материала в коронирующем промежутке, что и должно иметь место. Действительно, из-за высокой объемной концентрации перемещение частиц в коронирующем промежутке под действием сил пеодпородной поляризации исключается,

<sup>\*</sup> Снятие ограничения, вивсимого пятым допущением, приводит к тому, это процесс должен быть описан уравнением Пулсоона, Однако граничные условия и фактор усидения поля в дисперсионной среде, необходимые для решения этого уравнения, оттоются пока неопределенными

а пяличие цекоторой орцентации частиц не может вызывать их перераспределение. Тогда, согласно [5],

$$\epsilon_r = \epsilon_2 \left[ 1 + 3f \frac{\tau_1 - \tau_2}{\tau_1 + 2\tau_2 - f(\tau_1 - \tau_2)} \right],$$
 (14)

где (1. — проводимости частиц сыпучего материала и среды; f объемная концептрация сыпучего материала.

Сила, действующая на цилиндрический элемент единичной длины с толщиной стенки dr, будет:

$$dF = 6\pi z_0 z_1 + E^2 r dr. \tag{15}$$

Давление на стенку от силы и равно:

$$dp_a = 3t_a t_a \cdot a E^{\dagger} de. \qquad (16)$$

Интегрируя (16), получаем значение дявления на стенку:

$$p_0 = 3\varepsilon_0 \varepsilon_0 \sigma \int_{r_0}^{R} E^2 dr \tag{17}$$

В выражении (17) напряженность поля играет роль интегральной характеристики, поэтому с учетом вятого допущения ее эначение может быть найдено из уравнения:

$$div E = 0$$
.

Решение уравнения Лапласа для цилиндрической системы в рамках первого допущения даст:

$$E = \frac{U}{\ln \frac{R}{r_a}} \cdot \frac{1}{r}.$$

Тогда из (17) получаем:

$$p_0 = -3\varepsilon_0 \, \varepsilon_s \, \sigma \frac{U^2}{\ln^2 \frac{R}{r_0}} \left( \frac{1}{R} - \frac{1}{r_0} \right).$$

Учитывая, что  $r_0 \ll R$ , имеем:

$$p_{0} = 3t_{0} t_{0} = \left(\frac{U}{\ln \frac{R}{r_{0}}}\right)^{2} \cdot \frac{1}{r_{0}}.$$
 (18)

Из (18) следует, что  $P_0$  зависит от приложенного напряжения, а следовательно, от средней напряженности по закопу квадратной параболы. Таким образом, эта зависимость несколько слаба, пежели экспериментальная зависимость, что, по-видимому, обусловлено неучетом сил

 прениего трения и искажения воля объемным зарядом нонов и части.

Приведем численный анализ уравнения (18) для условий эксперижено. Прежде исего необходимо определить с. и г.

Для воздуха  $\gamma_2$  имеет норядок  $10^{-15}$  симім. Таким образом.  $\gamma_1$   $\gamma_2$ . Тогда (14) упростится, и

$$\varepsilon_3 = \varepsilon_2 \frac{1 + 2f}{1 - f} = 3.76,$$

гле f=0,48 — намеренное значение объемной концентрации;  $\varepsilon_1$ =1 — отпосительная диэлектрическая проницаемость вакуума,

Микроскопический анализ гранулометрического состава манной хрупы дал средний раднус частиц, разный 270 мкм. Тогда удельная поверхность материала

$$z \approx \frac{3f}{a} = 5330 \text{ m}^3 \text{ m}^3.$$

Подставляя численные значения в (18), получаем:

$$p_0 = 0.533 \cdot 10^{-6} \left( \frac{U}{\ln \frac{R^*}{r_0}} \right)^2 \frac{1}{r_0}.$$

Лля условий эксперимента  $p_0$  составляет (0,5  $\div$  7)  $\Gamma$  /см², что оказывается достаточным для запирания потока сыпучего материала.

### Выводы

- 1. Внешнее электрическое поле ограничивает текучесть электризованных сыпучих материалов.
- 2. Основной силой, пренятствующей истечению, является электростатическое даяление на стенку, которое зависит от средней напряженвости по закону нараболы.
- 3. Интенсивность коронного разряда, даже в начальной стадии, оказывается достаточной для запирания потока движущегося сыпучего материала.

АриНИИ механизации в заектрафикации сельского хозяйства

Поступило 15.1У.1975.

### 2. U. MUDAPPHILL, U. D. DUSAPPHILL

### **ՉՍԱԿԱՉԵ**Վ ՊԱՐՊՄԱՆ ԷԼԵԿՏՐԱԿԱՆ ԳԱՇՏՈՒՄ ՍՈՐՈՒՆ ՄԵԿՈՒՍԻՉ ՆՅՈՒԹԵՐԻ ՇԱՐԺՄԱՆ ՄԱՍԻՆ

Պարզաբանվում է էլեկաթական լիցրերի գերը սորուն նյուժերի շարժման Ար 3ույց է արված, որ - մասնիկների - միջև վանող աժերի - ասկայուժյունը պատմաս է հանդիսանում պատերի վրա էլեկտրաստատիկ մեջման առաջացման որով էլ պայմանավորվում է սորուն հյուների հոսըի գանդազեցումը։ Քերված են փորձարաբական հետադոտունյունների արդյունքները, որոնց ընդհանրացումը տուլիս է դլանի մեջ հոսրի գանդաղման երևույնի բանակական կողմը։ Փորձնական արգյունքները ուղեկցվում են տեսական հաշվարկներով, որոնք կատարված են որոշ հիմնավորված եննագրունյուններով։

Փորձաբարական ու տեսական հետաղոտունյունները ցույց են տալիս, որ սորուն նյուների հոսքի դանդագումը կախված է էլեկտրական դաչաի ինտենսիվունյունից բառակուսի պարաբոլի օրենքով, և սորուն նյուների չարժման օրինաչափունյունները ուսումնասիրիկիս էլեկտրական ուժերի հաշվառքը անհրաժեշտ է

#### ЛИГЕРАТУРА

- 1. Лей Л. Статистическая электризации, ГЭИ, 1963.
- 2 Заявка на патент ФРГ № 1773919.
- Матвеев 1, И Электродинамика и теория относительности. Изд. «Высшая шкс...».
   1964
- Натараж Л. И. О поведении дисперс юн фазы в электрическом поме комонтов разраля «Изв. ВУЗ-ов СССР. Филика», № 4, 1969.
- М. 1. Диэлектрическая проинцаемость дисперсиой системы в переходи м процессе установления электрического поля, «Электричество».
   7, 1973

### **24894444 UU2** 948114№31145614 Ц4444614484 5696444944 ИЗВЕСТИЯ АКАДЕМИИ НАУК АРМЯНСКОЙ ССР

Malat ghanip, uhehm XXIX, No. 3, 1976

Серня технических маук

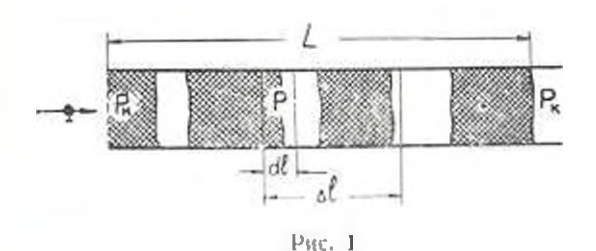
научные заметки

Р. М. МИРЗАХАНЯН, Н. Х. ДАНИЕЛЯН

### ТВЕРДЫХ ЧАСТИ ПИТОАР ТВЕРДЫХ ЧАСТИ ПИТОАР ТВЕРДЫХ ЧАСТИ ПИТОАР ТВЕРДЫХ ЧАСТИ ПИТОАР ТВЕРДЫХ ЧАСТИИ ТАЗОМ

Автараты, работающие в исевдоожижениях системах газ—твердые частицы, имеют инрокое применение в различных отраслях промышленности. Как известно [1], когла ожижающим втентом ябляется газ, наблюдается так называемое неоднородное инфромижение твердых частиц в тумирыховом или поршневом режиме. Поршиевое инфромижение имеет место при сравкительно малых соотношениях диаметров аппарать (D) и частии (d) и в достаточи высоких сло к сыпучего материала [1]. В настоящей заметке дана молель неоднородного поршневого исевлоежижения и вертикальных колонке с целью ее дальнейшего применения для расчета инсемотранспортных данай сыпучих материалов, в частности, кнариского исека.

Картина поршневого псевдоожижения представлена на рис. 1, где темные участки представляют собой стустки частиц «поршни», с объемной концентрацией твердых частии  $\phi_0$ , равной концентрации



наирыхлого неподвижного слоя, которые непрерывно движутся и раснадаются в верхней части колонки. Часть подаваемого в колонку газа проходит через поры поршней со скоростями, обусловленными перепадом давления в поршнях  $\Delta P$ , согласно следующему уравнению:

$$\Delta P = k \frac{\Delta I_0}{d_{\infty}} \frac{\mu^2 p}{2},\tag{1}$$

где k—коэффициент трения;  $M_0$  — длина норшия;  $d_2$  — эквивалентиый диаметр пор поршией; u —скорость газа, проходящего скнозь поршии, относительно частиц, расчитанная на все сечение колонки;  $\rho$ —плотность газа.

Скорость и можно выразить через скорость газа в порах поршней (т) и скорость движения поршней (д) так:

$$u = (w - 3)(1 - \varphi_0).$$
 (2)

Другая часть подаваемого и колонку газа (сверх пропускных способностей поршней) движется вверх по слою в виде пузырей, диаметр которых при поршнезом исевдоожижении равен днаметру колонки, со скоростью 3.

Рассмотрим участок длиной  $\Delta t$  в слое неоднородного пориневого исевдоожижения (рис. 1). Длина  $\Delta t$  является суммой длин пориней ( $\Delta t_n$ ) и пузырей ( $\Delta t_0$ ) на этом участке, т. е.

$$\Delta l = \Delta l_n - \Delta l_n. \tag{3}$$

Общий расход газа, проходящего через этот участок Q является суммой расходон газа сквозь порини  $Q_{\mathfrak{a}}$  и в виде пузырей  $Q_{\mathfrak{d}}$  этого же участка:

$$Q = Q_a + Q_b \tag{4}$$

 $\Delta I_{\mathfrak{o}}$  и  $Q_{\mathfrak{o}}$  определяются следующими выраженнями:

$$\Delta l_0 = \frac{Q_0 \Delta l}{3l^2} \,, \tag{11}$$

$$Q_n = i \sigma F (1 - \varphi_0). \tag{6}$$

Перепад давления  $\Delta P$  на участке  $\Delta I$  можно определить как [2]:

$$\Delta P = \Delta P_{\rm u} + \Delta P_{\rm u} \,, \tag{7}$$

где  $\Delta P_r$  — потери давления на преодоление веса слоя поршней длиной  $\Delta I_a$ ;  $\Delta P_r$  — потери давления на трение давжущихся поршней о стенки колонки;

$$\Delta P_{\rm s} = \gamma_{\rm T} + \Delta I_{\rm s} \,, \tag{8}$$

$$\Delta P_{r} = \frac{N^{m}}{D^{c}} \cdot \Delta t_{n} \,. \tag{9}$$

В этих выражениях удельная масса твердых частиц ( $\gamma$ ), коэффициент K и показатели m и e для каждого сыпучего материала определяются экспериментально.

Как показали наши исследования, скорость движения "поршней" и "пузырей" (3) в вертикальной колопке довольно точно можно выразить уравнением следующего вида

$$\beta = C \left( \frac{Q}{F} - u_0 \right)^x, \tag{10}$$

где  $u_0$  — скорость начала исевдоожижения твердых частиц:

С. х — коэффициент и показатель, значения которых для каждого сапучего материала определяются экспері-ментально.

Напинсм уравнения (1) и (7) и дифференциальном инде, учитывая (4), (6), (8): (10), для элементарного участка dI, где давление P и скорость газа u.

$$dP = \frac{e^{-P_{P_k}}}{2P_k d_k} dl_k , \qquad (11)$$

$$dP = \left[ \gamma_T \, \varphi_0 + \frac{K}{D^c} \, \middle| \, C \left( \frac{Q_k P_k}{PF} - u_0 \right)^{\kappa} \, \middle|^m \right] dl_0 \,, \tag{12}$$

где  $\rho_{\kappa}$ ,  $P_{\kappa}$ ,  $Q_{\kappa}$  -- идотность, давление и расход газа в верхнем сечения слоя.

Решением этой системы уравнений одним—из—численных методов, а которой переменными являются P, u и  $t_0$ , можно определить давление и скорость газа в любом сечении колопки, изд которым суммарная длина поршией равна  $t_0$ . Принимая  $t_0$  равной высоте  $t_0$  напрыхлого неподвижного слоя всех частиц в колопке, можно определить давление  $P_0$  и скорость газа в инжием сечении слоя.

Совместным решением уравнений  $\{2\}$ :  $\{6\}$  и  $\{10\}$ , подставляя средиве значения Q и n для давного участка, получим выражение  $\{13\}$ , по которому можно определить среднюю высоту всевдоо киженного слоя M.

$$\Delta l = \left[ (2 - \varphi_0) - \frac{\frac{Q}{F} - u}{C\left(\frac{Q}{F} - u_0\right)^x} \right]^{-1} \Delta I_0. \quad (13)$$

Точность приведенных уравнении была проверена экспериментом псевдоожижения кварцевого песка в колонке диаметром  $D=37.4~\mathrm{M}~\mathrm{M}$  (средний диаметр частиц песка  $\theta_{\rm cp}=0.242~\mathrm{M}~\mathrm{M}_{\odot}=2649~\mathrm{Ke}/\mathrm{M}^{2}_{\odot}=0.53;$   $K=580;~m=1;~e=0.31;~C=0.555;~x=0.89;~u_{\rm n}=0.726~\mathrm{M}~\mathrm{cek}).$  Экспериментально наплено, что для кварцевого песка уравнение (1) имеет вид:

$$\Delta P = (1266.7 - 1835 u)\Delta t_1 \kappa T M^2, \quad (u > u_0)$$
 (14)

При  $L_0=4$  м,  $Q_8=0.000375$  м³/сек и  $P_0=9250$  к $\Gamma$ /м³ расчетное значение давления по уравнению (12) получается  $P_0=10902.7$  к $\Gamma$ /м². На уравнений (14) и (12) определяем среднее для всего слоя значение скорости и 0.209 м/сек, а уравнением (13)—высоту исендоожиженного слоя L=1.24 м. Экспериментальные значения  $P_0$  и среднен высоты исевдоожиженного слоя L с достаточной точность і совпадают с расчетными данными.

HOX ALL ApsiCCP

Поступило 21 П.1975

### ЛИТЕРАТУРА

- Анарасханая Р. М. 1. М. Павестия АП АрмССР, сстая тех. пя паук», т. XXI, № 3, 1968.

научные заметки

### в о токмалжян

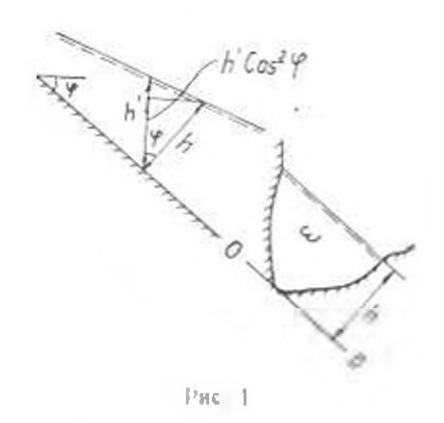
### К ГИДРАВЛИЧЕСКОМУ РАСЧЕТУ ПЛАВНЫХ ПЕРЕЛОМОВ ОТКРЫТЫХ РУСЕЛ

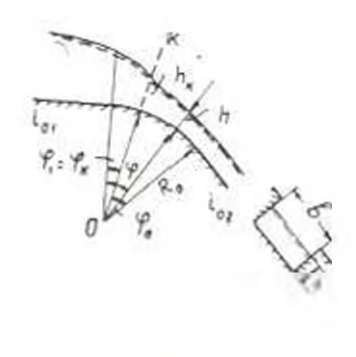
1 Дифференциальное уравнение неравномерного движения жил кости в открытых руслах, имеющее вид

$$\frac{dh}{dl} = \frac{i_0 - \frac{Q^2}{\omega^2 C^2 R} \left(1 - \frac{\alpha C^2 R}{g \omega} \frac{\partial \omega}{\partial l}\right)}{1 - \frac{\alpha Q^2}{g \omega^2} \cdot \frac{\partial \omega}{\partial h}}$$
(1)

отпосится к случаям малых геометрических уклонов. При этом живое сечение заменяется вертикальным сечением потока, а геометрический уклон настольки мал, что межно принимать  $I_0 = \sin z - \log \gamma$ ;  $\cos \gamma = 1$ . Такая постановка в обычных каналах приводит к незилчительной ощибке.

В ряде случаев участки каналов могут имегь весьма большие прямые (быстротоки) и обратные (консольные перепады) уклоны. Для этих случаев надо отказаться от указанной выше расчетной схемы и жиные сечения потока принять нормальными ко дну русла с глубиной h (рис. 1).





Pirc. 2

В данной постановке, поступая аналогично выводу дифференциального уравнения перациомерного движения [1], дифференциальное уравнение движения получается в виде [2]

$$\frac{dh}{dl} = \frac{\sin \varphi - \frac{Q^2}{\omega^2 C^2 R} \left(1 - \frac{zC^2 R}{z\omega} \frac{\partial \omega}{\partial l}\right)}{\frac{\alpha Q^2}{\omega^2} \frac{\partial \omega}{\partial h}}.$$
 (2)

Легко убедится, что структура уравнения (2) инчем не отличаются от структуры (1), и все известные методы приближенного интегрировачия (1) пригодны и для (2).

На наш взгляд в современных условиях надо отказаться от всех оществующих, зачастую с грубыми допущениями, примитивных и трудоемких методов расчета, предпочитая интегрирование (1) и (2) на ЗВМ, что более точно и проше.

Наши исследования показали, что в результате интегрирования (2) значения h и h' (см. рис. 1) заметно отличаются только при глубиках, близких к критической. Однако из этого не следует, что криние свободной поверхности вне этой области будут одинаковые, так как h' откладывается вертикально, а h — по нормали, и откловение их ординат примерно составляет  $1-\cos^2\varphi$ , что значительно при больших уклонах.

2. Когда уклои русла резко наменяется, переходя от меньшего критического к большему, го георетически в сечении перелома образует ся критическая глубина, и кривая свободной поверхности типа  $b_{\bullet}$  асимитотично приближается к пормальной глубине.

Когда перелом дна осуществляется плавной кривой значительног радиуса, то и начиле кривой не устанавливается критическая глубина, так как в этом сечении  $t_0$  сисе меньии, критического.

По ходу цвижения уклон русла нозрастает, и когда  $t_0 = t_0$  имени  $h = h_{\rm K}$ . При больших уклонах критическая глубина определяется из уравнения

$$\frac{2Q^2}{g} = \frac{\omega^3 \cos \varphi}{B} \tag{3}$$

Расход, выраженный через гидравлические элементы, соответствуюшие критическому уклону, будет:

$$Q = \omega C \sqrt[\gamma]{R \sin \varphi} . \tag{4}$$

При прямоугольном сечении русла выражения (3) и (4) прямут виа:

$$h = V \frac{2Q^{\dagger}}{gb^{2}\cos\varphi};$$

$$Q^{2} = \frac{b^{2}h^{2}y + 3}{n^{2}\left(1 + 2\frac{h}{h}\right)^{-3} + 1},$$
(5)

где у- ноказатель в формуле Павловского [1].

Характерио, что в (5) не участвуют раднуе кривнаны и уклоны участков.

Решая систему (5), определяется место критического сечения  $\varphi_k$  и значение критической глубины  $h_k$  (рис. 2). Надо отметить, что точное определение  $\varphi_k$  и  $h_k$  очень важно, так как эдесь кривая свободной поверхности имеет точку перегиба и происходит изменение характера кривой. Получениые значения  $\varphi_k$  и  $h_k$  являются исходными координатами для построения кривой снободной поверхности в спокойном и бурном режимах движения.

В случае  $i_{02} < \sin \varphi_{\kappa}$  глубина не доходит до критической и поток остается спокойным, при  $i_{01} > \sin \varphi_{\kappa}$  поток в начальном сечении имеет глубину меньше критической и на всех участках режим бурный.

3 Рассмотрим переходный участок призматического прямоугольного русла от  $\kappa |i_{02}\rangle l_{\rm R}$  при плавном переходе дна окружностью раднуса  $R_0$  (центральный угол  $\phi_0$ ). Для составления дифференциального уравнения движения удобно за переменные принять: угол между вертикалью и цанным сечением, h=глубина потока по пормали.

Учитывая, что 
$$w = bh; \ \gamma = b + 2h; \ R = \frac{h}{1 + 2\frac{h}{b}}; \ C = \frac{1}{n} \ R^{\gamma};$$

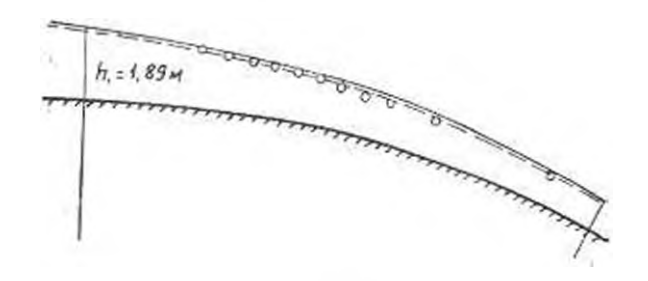
$$dl = R_0 dv_0 \frac{\partial \omega}{\partial l} = 0; \frac{\partial \omega}{\partial h} b,$$

нз (2) получим:

$$\frac{dn}{d\phi} = R_0 \frac{\sin \phi - \frac{Q^2 n^2}{b^2 h^{2y+3}} \left(1 + \frac{2h}{b}\right)^{2y+4}}{\cos \phi - \frac{\alpha Q^2}{g b^2 h^3}}.$$
 (6)

Граничными условиями будут:  $\varphi = \varphi$  ;  $h = h_\alpha$ . Интегрируя (6) на ЭВМ в предолах от  $\varphi_0$  до  $\varphi_0 + \varphi_0$ , получим координаты кривой свободной поверхности.

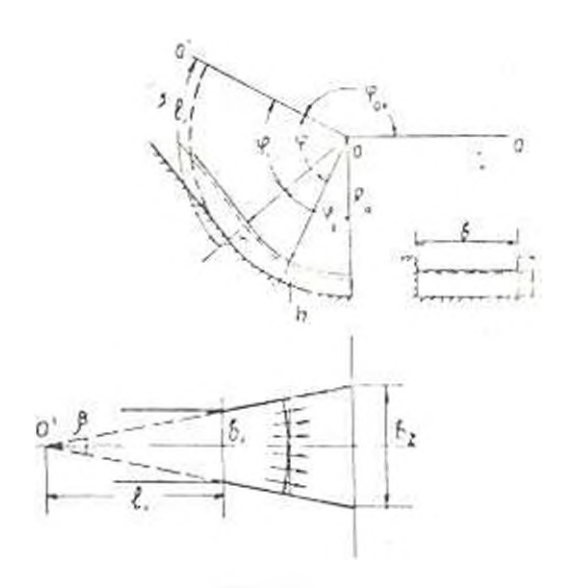
На рис. З показана теоретическая кривая свободной поверхности



Pac 3

при следующих исходных давных: Q=46, 8  $u^3/ce\kappa$ ; b=6 и;  $R_0=30$ м;  $r_0=0, 4517$ ;  $i_{01}=0, 004$ ;  $i_{02}=0, 49$ ; n=0, 017;  $i_{03}=1, 1$ ; 2y=0, 391;  $p_0=0, 00397$ ;  $h_0=1, 89$  м. Там же кружочками показаны опытные точки, полученные на модели. Среднеквадратичное отклонение глубии составляет 3, 2%.

4° Пусть ширяна прямоугодьного канала (рис. 4) динейно рас-



Pitc. 4.

инряется по длине криволинейного участка раднуса  $R_0$  (центральный угол  $\varphi_0$ ). Для построения кривой свободной новерхности здесь удобно пользоватся координатами  $\varphi$  и h. За начало отсчета угла  $\varphi$  (рис. 4) принимаем линию мысленного пересечения боковых бортов O-O' (которая проходит через центр кривизны). Тогда для гидравлюческих элементов получим: b

$$R = \frac{h}{1 + \frac{2h}{3R_0 \varphi}}; \quad C = \frac{1}{n} \left( \frac{h}{1 + \frac{2h}{3R_0 \varphi}} \right)^{y}; \quad \frac{\partial^{xy}}{\partial t} = 3h; \quad \frac{\partial^{xy}}{\partial t} = 3R_0 \varphi,$$

где 3 =  $\frac{b_2 - b_1}{R_6 \varepsilon_0}$  — центральный угол в плане.

Учитыцая эти преобразования, уравнение (2) получит вид:

$$\frac{dh}{d\tau} = \frac{\frac{D_{0} \cos(2\pi + 1)}{2\pi + 1} + \frac{\pi Q^{2}}{2\pi + 1} \left[ \frac{gn^{2}R_{0}}{2h^{2}} \left( 1 - \frac{2h}{2R_{0}} \right)^{2v-1} - \frac{h}{\tau} \right]}{\sin(\varphi_{01} + \varphi) + \frac{\pi Q^{2}}{2\pi + 1}}$$
(7)

гле  $arphi_{01}$  - угол между начальным сечением в линией отсчета O - O .

Интегрируя (7) на ЭВМ от  $_1$  до  $\mathfrak{G}_1$   $_2$  (где  $\mathfrak{G}_1=\frac{b_1}{3R_2}$ ). по-

лучим координаты кривой свободной поверхности.

Пример. Построить кривую свободной поверхности при исходных данных: Q=112  $m^3/ce\kappa$ ;  $h_1=0$ , 85 m;  $\phi_0=0$ , 4556 (26 06'34");  $R_0=40$  m; n=0, 017;  $\alpha=1,1$ ;  $b_2=8$ , 04 m;  $b_1=6$ , 0 m.

Определяем параметры: 3 = 0, 119;  $\varphi_1 = 1, 340$ ;  $\varphi_{01} = 2, 916$ ;  $\varphi_2 = 1, 79$ ; 2y = 0, 391.

Интегрируя (7) на ЭВМ, получаем координаты кривой свободной поверхности, приведенные в табл. 1 (где x — длина горизонтальной проекции дуги).

								Таба	H & R I
P	1.34	1-40	1:45	1.50	1.55	1+60	1.65	1.70	1.79
x, M	0	1-81	4.05	5.95	7+87	9.80	11.80	13.80	17.40
h, at	0.85	0.81	0.78	0.75	0,72	0.70	0.68	0.67	0+64

Выводы

- 1. При гидравлическом расчете канялов больших уклонов или с криволинейным дном исходным надо принимать. Дифференциальное уравиение (2) а не (1).
- 2. Граничными условиями витегрирования (2) для прямоугольных русел с криволинейным диом являются кории системы (5).
- 3. Криную свободной поверхности для призматического и непризматического участков с криволинейным диом удобно получить с помощью интегрирования (2) на ЭВМ, применяя в качестве координат центральный угол «и глубину потока по нормали h.

ГрПП им. К. Маркеа

Поступило 29 1 1975.

### SHIFEPATYPA

- 1. Богомолов 1. И. Михайлов в. 1. Гидравлика. М., 1965.
- 2. Чод В. Т. Гидранлина открытых каналов, М., 1969

### ДИЗЧИНИ UUZ ЭНЗЛЬЮЗЛЬБЬНЫ ИНИЧЬОНИЗЬ ЗБОЛЬЧИНЫМ ИЗВЕСТИЯ АКАДЕМИИ НАУК АРМЯНСКОЙ ССР

Տեխնիկական գիտութ, սեռիա

XXIX, № 3 1976

Серия технических наук

научный заметки

### **ЛЕ НГОК ТУП**

### РАСЧЕТ УСТОЙЧИВОЙ ФОРМЫ ПОПЕРЕЧНОГО ПРОФИЛЯ РУСЛА РЕКИ НА ЕГО ПОВОРОТЕ

Расчет устойчивой формы поперечного сечения русла реки на его повороте можно произвести, используя условие динамического равновесия частицы, лежащей на откосе водовода и находящейся под действием собственного веса, силы трения и динамических сил, возникающих от продольных и поперечных скоростей в придонном слое потока. Исходя на этого и используя условия неразмываемых скоростей, многими исследователями [2—4] получено дифференциальное уравнение устойчньой формы поперечного сечения русла на его повороте.

Наша цель—произвести расчет по существующим методам для конкретных условий местности, сопоставить результаты георетических расчетов с натурными (модельными) данными и на этой основе сделать соответствующие практические выводы.

Дифференциальное уравнение устойчивой формы русла на новороте водовода можно представить в следующем виде {2}:

$$\frac{dh_1}{dx_1} = \frac{b}{m_0 h m} \left[ -\frac{v}{v} h_1 + \sqrt{1 - \left[1 - \left(\frac{v}{v}\right) - \left(\frac{v}{v}\right)^2\right] h^2} \right], \quad (1)$$

где  $h_1 = h_1/h_m$ ,  $x_1 = x \cdot b$  — относительные координаты, которые изменяются в пределах от 0 до 1 (см. рис. 1); b — полуширина русла по урезу;  $h_m$  — максимальная глубина в русле:

$$v = \sqrt{v^2 + v^2 + v^2}, \tag{2}$$

 $v_x$  — продольная скорость в данной точке течения;  $v_x$  — поперечная горизонтальная скорость;  $v_h$  — вертикальная скорость;  $m_0$  — коэффициент естественного откоса грунта под водой. Введем обозначения:

$$\frac{b}{m h_m} = D;$$
  $\frac{v_s}{v} = k_1;$   $\frac{v_h}{v} = k_2;$   $u_1 = 1 - k_1^2 - k_2^2,$  (3)

С учетом (3) уравнение (1) примет нид:

$$\frac{dh_1}{dx_1} = D \left[ -k_1 h_1 : \sqrt{1 - h_1^2 h_1^2} \right]. \tag{4}$$

откуда

$$x_1 = \frac{1}{D} \int \frac{dh_1}{-k_1 h_1 + \sqrt{1 - n_1^2 h_1^2}} + C, \tag{5}$$

где C= постоянная интегрирования, определяемая из граничного условия. При постоянных значениях  $k_1$  и  $n_1$  выражение (5) можно представить в следующем виле:

$$x_1 = \frac{1}{D} \left[ \frac{n_1}{n_1^2 + k_1^2} \arcsin n_1 h_1 - \frac{k_1}{n_1^2 + k_1^2} \ln(\sqrt{1 - n_1 h_1 + k_1 h_1}) \right] + C,$$

что и есть искомая функция поперечного профиля русла в несвязанных груптах на повороте водовода.

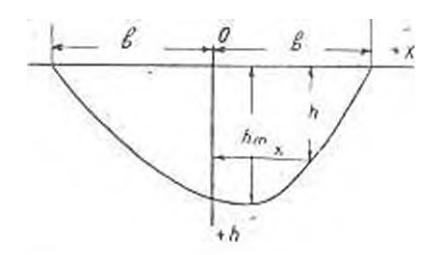


Рис. 1 Расчетная схема.

Для определения нараметра С используем условия:

$$h_1 = 0$$
  $x_4 = 1$  (для правого откоса); (6)

$$h_1 = 0$$
  $x_1 = -1$  (tan denote otroca). (7)

С учетом (6) и (7) получаем: для правого откоса C=1, иля левого откоса C=-1.

Для функции  $x_1 = x_1(h_1)$  волучены следующие зависимости: для левого откоса

$$= \frac{1}{D} \left[ \frac{n}{n_1^2 - k_1^2} \arcsin n_1 h_1 - \frac{k_1}{n_1^2 - k_1^2} \ln(\sqrt{1 - n_1^2 k_1^2} - k_1 h_1) \right] - 1; (8)$$

для правого откоса

$$= \frac{1}{D} \left[ -\frac{u_1}{u_1^2 + k_1^2} \arcsin u_1 h_1 - \frac{k_1}{u_1^2 + k_1^2} \ln(\sqrt{1 - u_1 h_1^2} + k_1 h_1) \right] - 1. (9)$$

Для рясчета устойчивой формы русла по формулям (8) и (9) веобходимо задаться распределением продольных и поперечных скоростей. Расчет поперечного профиля русла нами произведен при следующих исходных данных (взятых из модельного русла, которое нами псследовалось):

$$b = 0, 3.4$$
;  $h_m = 0, 1.4$ ;  $m_0 = 3$ ;  $D = 1$ ;  $k_1 = 0, 9$ ;  $k_2 = 0.1$ ;

$$n_1 = 0,425; \quad \frac{n_1}{n_1^2 + k_1^2} = 0,43; \quad \frac{n_1^2 + k_1^2}{n_1^2 + k_1^2} = 0,9]$$

Последовательность расчета по формулам (8) п (9) приведена в табл. 1. Результаты расчетов графически представлены на рис. 2.

$h_1$	$n_1$ arc sin $n_1 h_1$	$n_1^2 = n_1^2 - \ln(V - 1) = -\frac{k_1 h_3}{2}$	3, (ACBINI) OTROC)	$\frac{k_1}{n_1} {\kappa_1} \min[Y \mid n_1 n_1 - \kappa_1 n_1]$	л, (правын откос)
0 0.1 0.2 0.3 0.4 0.5 0.6 0.7 0.8	0 0,018 0,041 0,055 0,074 0,095 0,110 0,130 0,148 0,169 0,188	-0.0 G -0.1 7 -0.8 -0.11 -0.7 -0.5 -1.0 -1.0 -3.0	- 1 - 0,90 - 0,77 - 0,65 - 0,52 - 0,33 - 0,13 - 0,16 - 0,53 1,14 3,10	0 0.078 0.146 0.204 0.270 0.328 0.376 0.417 0.460 0.500 0.536	1 0.90 0.81 0.74 0.66 0.58 0.51 0.45 0.39 0.33

Чтобы получить картину формирования русла на закруглении размываемого водовода, в гидравлической лаборатории НИИ водных проблем и гидротехники ММиВХ АрмССР нами были поставлены опыты. Для формирования модели был использован пемзовый песок.

Опыты проводились в лотке прямоугольного поперечного сечения Песчаное дно водорода в поперечном направлении было горизонтальное, а в продольном—с уклоном i=0,006. Модель имела дирину 60 с. высоту 40 см, длину 1,7 м, угол новорота 180° с радиусом закругления 4 м. Отношение глубниы к ширине в наших опытах менялось в пределах  $b/h=0.13\pm0.21$ . Расход изменялся в широких пределах, для рассмотренного выше примера составлял 0.17  $a/ce\kappa$ .

Продолжительность каждого опыта определялась отрезком времени, в течение которого происходила стабилизация руслового процесса, т. е. прекращался размыв и устанавливалась устойчивая форма русла на рабочем участке модели. В наших опытах это время разнилось 45—50 часам.

Поперечные профили русла и скорости потока измерялись в нескольких сечениях модели, расположения которых приведены на рис. 2-На рис. 2 пунктирной линиен нанесены устойчивые формы русла, полученные из опытов, а сплошной линией—расчетные формы русла по ланным табл. 1.

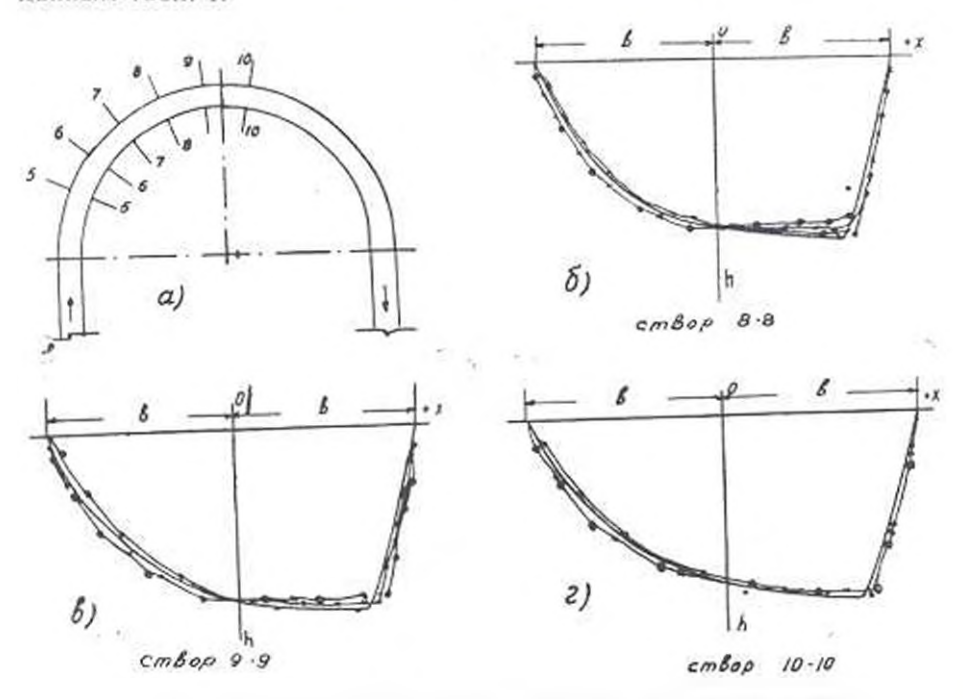


Рис. 2. План и поперечные профили деформированных русся.

а — схема расположения стноров;

б, в, г — сопоставление расчетных и овытных дашных.

Как видно из рис. 2, результаты экспериментальных и георетических исследований дают хорошее совпадение. Аналогичное соноставление данных опытов и георетических расчетов было произведено и при других исходных данных, которые существенно не отличаются от приведенных выше показателей. Здесь мы не приводим расчеты, так как во всех случаях имеем аналогичную картину—совпадение георетических расчетов с данными опытов. Сопоставление результатов теоретических расчетов с данными натурных речных русел представляло бы, конечно, большой интерес. К сожалению, такими данными мы не располагаем. Однако это не может существенно повлиять на выводы, сделанные выше, так как качественная картина в натурных руслах внолне совпадает с данными теоретических расчетов.

ЕрПИ им. К. Маркел

Поступило 11.У.1975

### ЛИГЕРАТУРА

- 1. Ананян А. К. Движение жидкости на повороте водовода. Ереван, 1957.
- Похераняя М. С. Поперечные профили естественных руссл. «Павествя АП АрмССР (серия Т. П.)», т. XI, № 6, 1958.
- Розовский И. Л. К попросу об устойчиной форме русла на закруглении канала. ДАН УССР, № 1, 1955.
- Ибад-заде Ю. А. Построение устойчивого профиля русла. «Гидротехническое строительство», № 12, 1952.

Տեխնիկական գիտութ, սեբիա

XXIX Nº 3, 1976

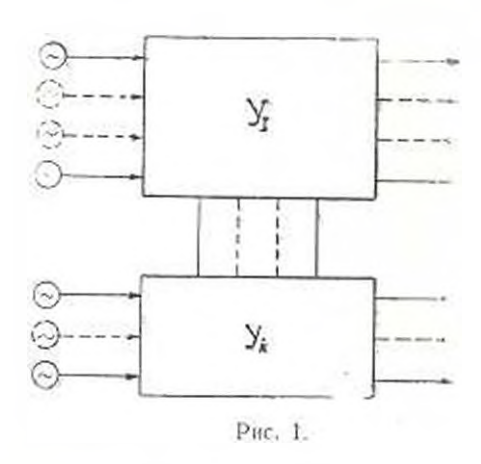
Серия технических наук

научные заметки

### Р. М. ГАБРИЕЛЯН

# К УЧЕТУ КОМПЛЕКСНЫХ КОЭФФИЦИЕНТОВ ТРАНСФОРМАЦИИ ТРАНСФОРМОТОРОВ В ИНФОРМАЦИИ ДЛЯ РАСЧЕТОВ УСТАНОВИВШНІХСЯ РЕЖИМОВ ЭЛЕКТРИЧЕСКИХ СИСТЕМ

При решении задач оптимизации режимов энергосистем с учетом комилексных коэффициентов грансформации трансформоторой ( $K_1$ ) существуют два нозможных способа формирования матрицы комплексных проводимостей  $\|Y\|$  исследуемых систем. Первый из них предусматривает формирование одной песимметричной матрицы. Несимметрия возникает на на  $K_2$ . Во втором случае система представляется двумя матрицами. В одной из них учитываются сетевые элементы, эта матрица является симметричной. Вторая матрица представляет только комплексиые коэффициенты грансформации трансформоторов. Схема замещения, соответствующая второму способу, показана на рис. 1 Вытекает



задача—какой из этях способов является более эффективным как при решении оптимизационных задач, так и задач потокораспределения? Решение этой задачи зависит от результатов анализа способов формирования указанных матриц и их эквивалентирования.

Целью настоящей заметки является аналия формирования этих матрии и выбор более оптимального способа. Здесь в качестве расчетной рассматривается схема, содержащая до 200 уэлов при наличии в них до 10 трансформоторов с К...

Число вычислительных операции для симметричных по гланиоя диагонали матриц при эквивалентировании определяется по формуле [1, 2]

$$N = \frac{1}{2} m(m-1) + \frac{1}{2} c(c-1) + \sum_{i=1}^{n} (n-i)(n-i-1) + \sum_{i=1}^{n} (n-i), \quad (1)$$

где n — число уалов исходной схемы; m — число нар полюсов эквивалентного нассивного многополюсника; c — количество шагов эквивалентнрования до эквивалентного нассивного многополюсника Однако при учете ветви с  $K_T$  из-за несимметричности исходной  $\{Y\}$  матрицы число вычислительных операции увеличивается на величину  $\Delta_T$ , которую для одного  $K_T$  можно рассчитать по формуле

$$\Delta_{j} = \frac{1}{2}m(m-1) + \frac{1}{2}(j-m)(j-m+1) + \sum_{i=1}^{n}(j-1)(j-i-1) + \sum_{i=1}^{n}(j-i), (2)$$

где j — номер шага с которого участвует в эквивалентировання ветвы с  $K_r$ .

Если на k-ом шагу эквивалентирования число ветвей с  $K_T$  увеличивается на  $\alpha$ , то число вычислительных операций увеличивается на  $\Delta_k$  рассчитываемой по формуле (2) с условием j=k и т. д. В конечном счете число вычислительных операций зависит от числя

 $\bar{K}_{T}$  и равно:

$$N_k = N + \Delta_{j-1} + \Delta_{j-1} + \beta \Delta_{d} + \dots + \Delta_{n-1}$$

$$\alpha < \beta < \dots < \gamma;$$

где

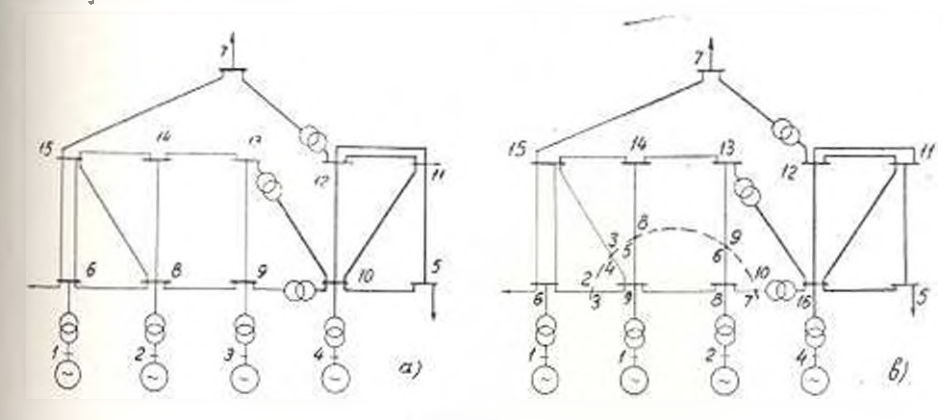
 $\gamma$  — число ветвей с  $K_T$  в исходной схеме; N — рассчитывается по (1);

 $\Delta_{j}$ ,  $\Delta_{j}$ ,  $\Delta_{j}$  — рассчитываются по (2).

При втором способе формпрования матриц комплексных проводимостей (рис. 1) число узлов исходной системы увеличивается из-за появления связей между подсистемами; при этом эквивалентируется только симметричная матрица  $[Y_I]$ , у которой число вычислительных операций  $N_I$  рассчитывается по (1). Если  $N_I > N_A$ , то целесообразно эквивалентирование провести по нервому способу, в противном случае—по второму.

Для иллюстрации анализа по двум способам приведен пример электрической системы с числом узлов 15 (рис. 2,a). При разбиении схемы на две подсистемы число узлов первой полсистемы увеличивается до 16, а вторая состоит из 9 узлов (рис. 2.6). В табл. 1 приведены сравиштельные оценки для грех случаев; эквивалентирование без учета  $\hat{K}_{r}$ ; с учетом групп соединения двух трансформоторов, отличаю-

**щихся от 12** (ветви 2—8, 3—9), по первому способу и то же по второму способу.



Puc. 2.

Из табл. 1 видно, что, иссмотря на увеличение числа узлов системы, при разбиении ее на части второй способ для этой задачи является экономиым с точки зрения выполияемых вычислительных операций. При дальнейшем увеличении числа  $\vec{k}_T$  для этой задачи второй способ эквивалентирования остается экономичным.

TuGanna !

Тиблица 2

		Число ветней с <i>Кт</i>	Число пынолня- емых начислитель- ных онерации		олинемых льных опе- яй	"Мя	атраты на нск—32°, ек
15 15	7	0 2 2	2034 3548	1 спо- соб	1  <b>c</b> 110-	cna- co6	11 спо- соб
16 10	2 2204	2204	103706	18246	5	1	

Программа для сформирования [Y] и  $[Y_I]$ , реализующая оба способа, составлена на алгоритмическом языке "Фортран—4" для ЭВМ "Минск—32". Время решения—менее одной секунды. Для выявления сравнительной оценки по затратам машинного времени в качестве примера приведена тестовая задача [3], где n=46, m=28, c=18. При учете трех ветвей с  $K_I$  по двум способам (тябл. 2) затрачено соответственно 1 и 5 сек.

Арминия

Поступило 16.V1.1975.

### ЛИТЕРАТУРА

- Адонц Г. Т. Юзбашки А. М., Гапланян 1. С. К песледованию трех способов обрашения матрицы комплексных проводимостей электрических схем. «Изв. АН АрмССР (серия Т. IL)», т. XXVI, № 6, 1973.
- Фидеев Д. К., Фидеева В. И. Вычислительные методы линенияй влеебры. Физматти, 1960.
- Адонц Г. Т., Гамбурин К. А., Мурадин С. Г. Об одной тестоной задаче расчета уставовизиветося режима эксресосистемы. «Электрические с.: инии. 1971. № 12.

Алгоризм оптимальной перенумерации услов ехемы при ее эквавалентировании. Адонц Г. Г., Габряелян Р. М. «Известня АН АрмССР (усрав Т. П.1», т. XXIX, № 3, 1976, 3—8

Изложен алгоритм перенумерации узлов открытой схемы для ее замены схемон эквнивлентного многополюжника, который основан на принцине использования минимума ячеек оперативной намяти ЦВМ. Для доказательства оптимальности перенумера-или пынолнены примеры расчета для основи и пой же схемы при октимальной, неоптимальной в случайной жумераниях узлов.

Нал. І. Табл. 4 Бибд. 5 наца.

УДК 621.311 : 681.3,06 · 621.372,6 : 519.271

Определение простой при изменении и исходной схеме. Аругиняи А. А. «Известия АП АрмССР (серия Т. И.). 1. XXIX, 363, 1976, 9—14.

Предложена методика определения структуры эквивалентного много полюсника, которан рекомендуется при преобразований ехемы ламещений электрических систем, содержаниих 500—1000 учлов. Составлена программа на алгоризмическом изыке Фортра 4, обеспечивающая оптимальное решение ладачи распределения намати ЦВМ. Предложен также алгоризм персечета исходной экцивалентной матрицы узловых проволимостей много-полкосника, учитыная изменений и псходной слеме, бел новторного эквивалентирования.

Пла. 3. Биба 7 пазв.

NAK 621 924 2 868

Вибрационный контроль ининдельного узла «танка Хечумин А В. «11 пестня АП АрмССР (серпя Т. П.)», « XXIX, № 3, 1976, 15—22

Определение вибросостояния инпиндельного узла производится на основании пиализа пространственного спектра наброскорости. Показана заимсимость резонавеных свойств системы от дефектов исследуемого узла. При веден пример возники нения резонанса вследствие дефекта. Соображения и вибросостояния инпигасыного узла исследствие дефекта, соображения изводственный имброконтроль на специальной установке.

Нал. 4. Габл 2. Библ. 4 пали

NAK 621 91+621.7.014.8]--52

Оплимальные и мовил осформации струмки при обработке на антоматических линиях Бятдясярян Г. Б., Геворкян А. О. Павестия АН АрмССР (серия Т. (1 (2) т. XXIX, № 3, 1976, 23—3)

Приводятся результаты экспериментальной проверки степени влижияя основных факторов на формообразование струкки и предлагается методака определения оптимальной формы стружки с помощью факторного анализа Предлагаются также рекомендации, обеспечивающие получение птимальной формы стружки ори гочении конструкционных сталей резпами, оснащенными трех- четырех-, ияти- и шестигранными пердосплавными неперетичиваемыми пластинами конструкции ВНИИ

Илл. 6. Табл. 3. Библ. 2 паав.

VAK 62-50:519.3

Место построения оптижальных последовательных алинов регрессионных экспериментов со найствами Е-оптимальности Мануквиз С. И., Манукия Э. И. Инсаренко В. И. «Павестия АП АрмССР (серпя Т. И.)», г. XXIX, № 3, 1976, 32—39

Предлагается мегод построения плана экспериментов, необходимых для определения постоянных коэффициентов математического описания вселедуемых ввлений. Эксперименты, проподимые по построенному влану, возволяют при минимельном количестве измерений получить опенки искомых констант с минимальным значением коридора опибок. Предлагаемый метод вланирования и отличие от классических методов Е-оптимального планирования проводится без выполнения трудоемких вычислятельных пронедур

Табл. 1. Бябл. 3 цазв.

УДК 62-50:519.2

Задачи уприоления для систем конечных автоматов. Сарвфян Н. Е., Авакин М. Н. «Известия АН АрмССР (сервя Т. Н.)», т. XXIX, № 3, 1976, 40—45.

Рассматриваются простейшие способы организации взаимодействия работы несложных подсистем, приподящие к пелесообразному поведению тостаточного гложинго типа. Используются, в частности, методы козлективного попедения конечных автоматов для поспроизведения просчейних моделей двухурожневого взаимодевствия.

Иля 1. Библ 1 назв.

V2IK 621.3.095.2 : 539.215

О овыжении ди нектрического сыпучего материала и электрическом поле коронного разряда. Таруаян А. А. Цатуряя А. П. «Известих АН АрмССР (серия Т. П.т», т.ХХІХ, № 3, 1976, 46—54.

Анали прустся вливние электрических зарядов на даижение сыпучего материала. Выявлено, что между частинами действуют отталкивающие силы, приводящие к возникновению электростатического давдения на стенку Этим даилением и обусловлено замедление истечения сыпучего чатериала. Приводятся результаты экспервментальных неследоваций им выявлению количестиенной стороны процесса замедлению в пилиодре, когда в нем гарит коронный разряд Экспериментальные результаты сопровождаются расчетами, выполненными в рамках некоторых обеснованных допущения

Экспераментальные и теоретические исследонания показынами, что замедление истечения сыпучего материала зависит от приложенного напржения по закону параболы.

Получения резольно дозванот на нечоходимость учета электрических сил при исследования движения сыпучето материала, и такжа возможность использования этих сил для регулирования истечения через ограниченное сечение закрытых грубопроводой.

Илл. 3. Табл. I. Библ. 5 назв.

VIK 66-912-66 096 5

Неодкородное поришение всейоожижение гвердых частиц газом. Мирзаханян Р. М.: Данислян И. Х. Известия АН АрмССР (серия Т. Н.)», т. XXIX, № 3, 1976, 55.—57.

Представляется модель и математическое описание неидкородного поршиевого иссевдоожижения твердых частии газом. Приведенные урависния дают возможность определить давление и разных сечениях вертикальной колонки и высоту исседоожиженного слои и зависимости от расхода газа.

Нля. 1. Библ. 2 назв.

К гидравлическому расчету влавных переломов открытых русвл Токмаджян В. О. «Известия АН АрмССР (серия Т. 11) -, т. XXIX, № 3. 1976, 58—62.

Для призматических и непризматических прямоугольных русел преобразовано дифференциальное уравнение перациомерного движения и открытых руслах при больших геометрических уклонах. Дается метод определения начальных условий и интегрирования на ЭВМ

Али конкретного случая сопоставлены ординаты теоретического и экспериментального полученного кривых своболяой поверхности, отклонение составляет 3.2%.

Нля. 4. Табл. 1. Биол. 2 назв.

VIIK 627.15 - 556.536 + 532.543

Расчет устоичивой формы поперечного профила русла реки на его повороте. Ле Игок Туп «Известия АП АрмССР (серия Т. П.)», т XXIX. № 3, 1976, 63 – 66.

Принедена методика расчета устойчивой формы русла на новороте водовода с учетом илияния поперечных екоростей. Результаты расчетои сопоставлены с данными забораторных опытов и получено хорошее совиаление.

Пла 2 Таба. I. Іліба 1 лазв

VAR 621 311 + 621 311 21 - (19 27)

К учету комплексных колффициентов трансформации трансформаторов в информации для расчетов устоновавшихся режимов электрических систем. Габриении Р. М. «Пявестия АП АрмССР (серия 1. 41.)», т. XXIX, № 3, 1976, 67—69.

Приведен аналия двух способон формирования [У] матрик в расчетах оптимизационных задач и задач потокораспределения, который предсказывает какой на способов целесообразно использовать с точки эрения выполняемых вычислительных операций при эквивалентировании матриц комплексных проводимостей и учетом комплексных коэффициентов транеформации гранеформации гранеформации гранеформации правеформаторов.

Плл. 2. Табл. 2. Библ. 3 назв.

### <u>የበՎԱՆԳԱԿՈՒԹՅՈՒՆ</u>

### էննոցնարկա

2.	S.	Ադրնց, Ռ. Մ. Գաբրիելյան. Մինմայի համարժեցավորման ժամանակ նրա հանգույցների օպտիմայ վճրահամարակայման այդորինմ
П		Հարությունյան. Համարժեր բազմարների կառուցվածրի որոշումը և հանգուցային հա
114,	U.	
		դորդականությունների մատրիցայի վերանաչվարկը հախնական շխեմայի փոփոխման
		gluggard
		Մենենաջինություն
Ш.	Ц.	աերումյան. Հաստոցի իլային հանգույցի Սրթոաստուգում
>	A.	Բադղասարյան, Հ. Հ. Գևուգյան, Տալեզի օպտիմալ գեֆորմացիայի առաջացման պայ-
		մանները մետաղը ավառմատ գծերով մակելիս
		Հաշվողական տեխնիկա
U,	<b>և</b> .	Մանուկյան, է. Ն. Մանուկյան, Վ. Ն. Պիսաբենկո. Ռեգրեսիոն փորձերի E-օպտիմայա-
		ւին Հատկություն ունեցող Հայորդական պլահավորման ժեթոդ
2	lı.	Սասաֆլան, Մ. Ն. Ովադյան, Վերջավոր ավտոմատների համակարդերի կառավարման
-		մի ջանի խնդիրներ
		է լ ե կ տ ո ա տ ե ի ն ի կ ա
1.	Щ,	Թոռունյան, Ա. Ի. Ծատության, <i>Պոտկաձև պարպվան էլնկայյական դաշտում սորու</i> ն
		մեկուսի։ Այութերի դարժման մասին
		<u> Գիտական նαթե</u> ր
ß.	U.	Միշգակունյան, հ. հ. Գանիելյան. Գրեղ ժասերկների ժիտցային կեղծ «հղուկացուժը
		σωηκή
ď.	2.	Թոքմայյան, Սահուն շրջադարձներով բաց հուների հիդրավլիկական հայվարկի վերա-
·		у Брушу
H.	Yes	ոկ Տուի. Չետի ոլորահում Տունի լայնական պրոֆիլի կալուն ձևի հայվարկը . 63
		Կաբրիկյան, էլեկտրանակարդերի կալուն ռեժիմների հայվարկի համար ինֆոր-
ır.	13 .	
		մացիալում տրանսֆորմատորների տրանսֆորմացիայի կոմպլեքս գործակիցների հաշ-
		dwallub 201000



### содержание

### Энергетика

Г. Г. Мона, Р. М. Габриелян Алгориты перенумерации узлов ехемы при се экви- валентировании	3
<ol> <li>А. Аругонан. Определение структуры эквиналентного многополюсника и пересчет матрицы узловых проводимостев при изменении в веходной ехеме.</li> </ol>	9
Машиностроение	
<ol> <li>В Хенумчи. Вибрационный контроль инпидельного узла станка</li> <li>В Бигдасарян. А О Гевориян Онтимальные условии деформации стружки при обработке на автоматических линиях</li> </ol>	15 23
Вычислительная техника	
<ul> <li>Н. Манукан, В. В. Манукан, В. М. Висиренко Метод построения оптимальных предедовательных планов регрессияных экспериментов со свой стнами Е оптимальности.</li> <li>Н. Е. Сарафия, М. В. Люкан. Задачи управления для систем конечиях автоматов.</li> <li>Электротехника.</li> </ul>	3 <u>2</u>
А. А. Торунан, А. И. Патуран, О движении дизлектрического сыпучего материала и электрическом поле коронного разряда	46
Научные ламетки	
<ul> <li>И. Мирзохания, Н. Х. Ланас (до. По этпородное поришеное тенцоожижение твердых частии голом.</li> <li>В. О. Токмиджан, К гидравлическому расчету планомх переломов открытых руссл. Ле Наж Туп. Рясчет устойчивой формы поперечного профиля русла реки на его повороте.</li> </ul>	55 58 63
Р. М. Габриелян. К учету комплексных коэффициент в грансформации транс- форматоров и информации для расчетои установившихся режимов клек-	67

